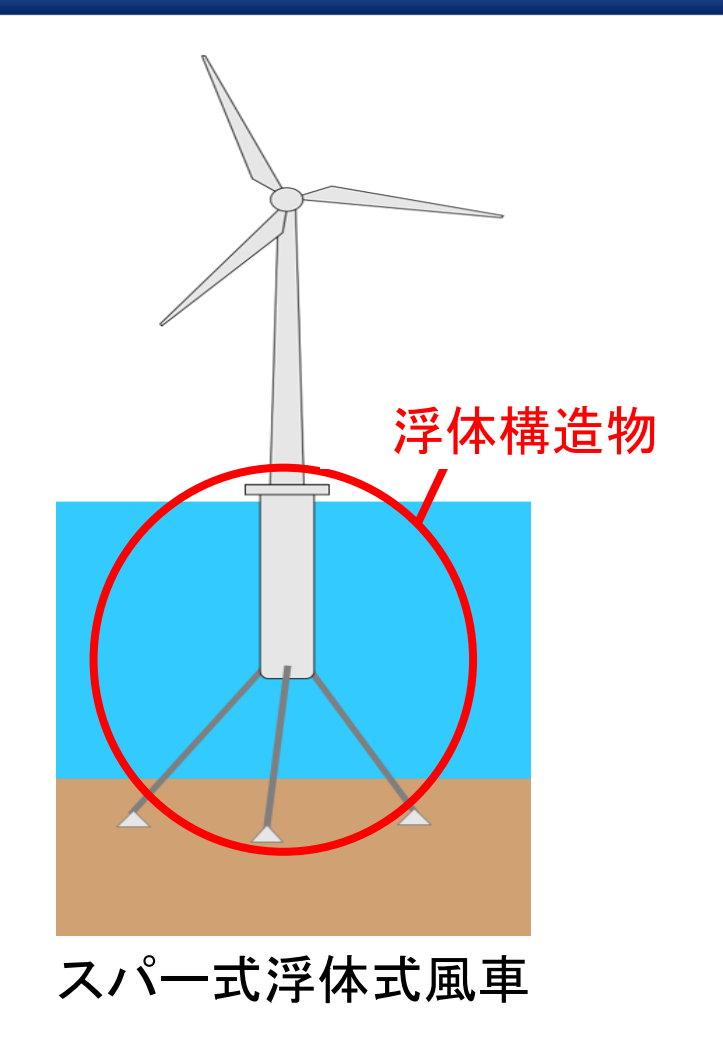
## V 形垂直軸風車の翼端形状が 風車出力・荷重特性に与える影響

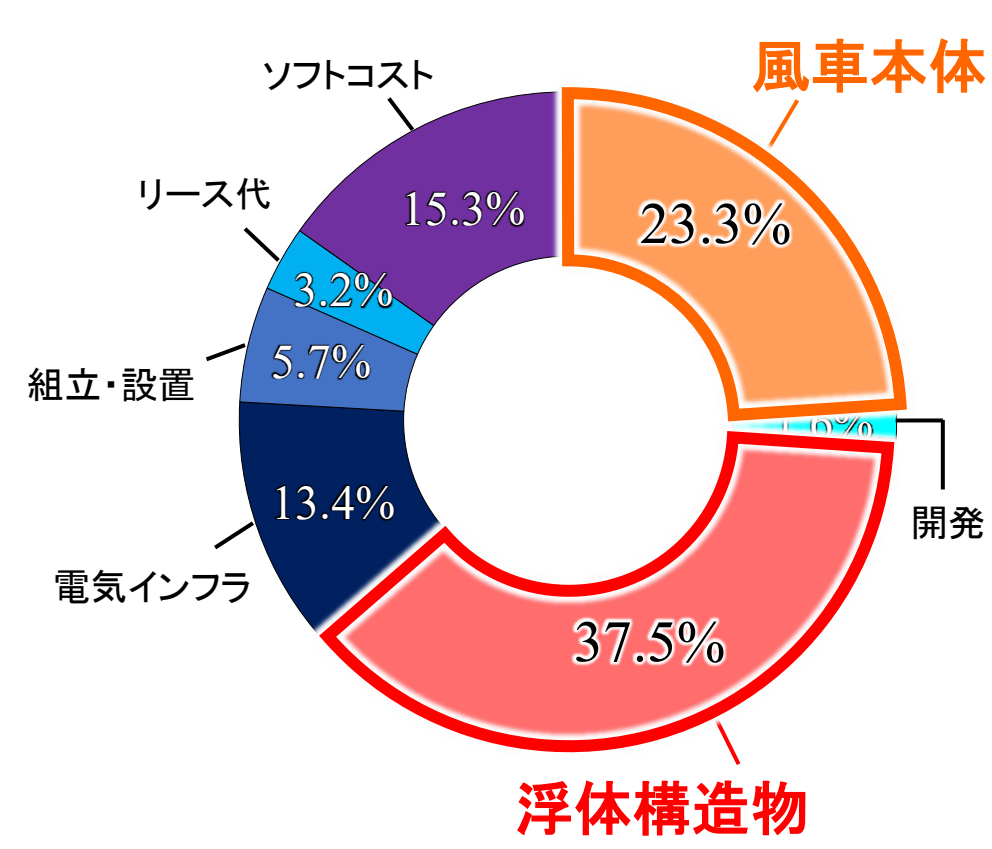
### 金沢大学 河野孝昭



本研究は競輪(2024年度JKA機械振興補助事業)の助成を受けて実施しました。

## 1. 研究背景•目的



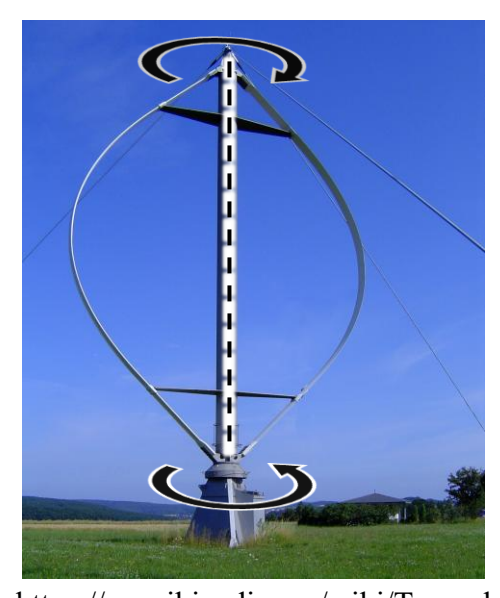


浮体式風車導入コスト(CapEx) 内訳[1]

浮体式洋上風力発電の普及には,風車本体と浮体構造物のコストダウンが大きな課題



https://ips-group.dk/markets/windmills/



https://en.wikipedia.org/wiki/Troposkein

	水平軸風車	垂直軸風車
ロータ風荷重を 受ける高さ	高い	低い
重心	高い	低い
設計転倒モーメント	大きい	小さくできる可能性

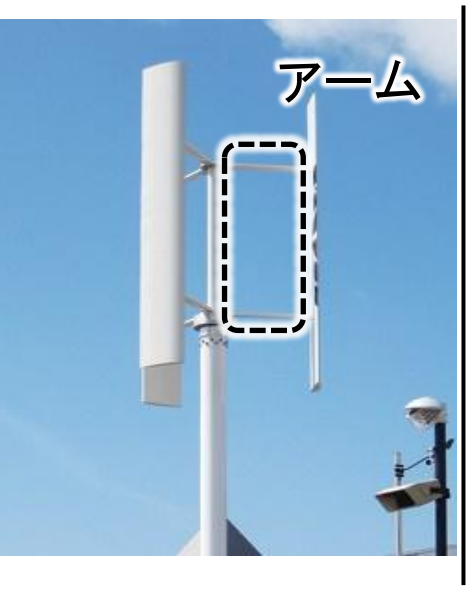
垂直軸風車は浮体構造物の低コスト化の面で有利

トロポスキン形

H形

V形







ピッチ角 制御
アーム
損失

困難

比較的小さい

大きい

比較的困難

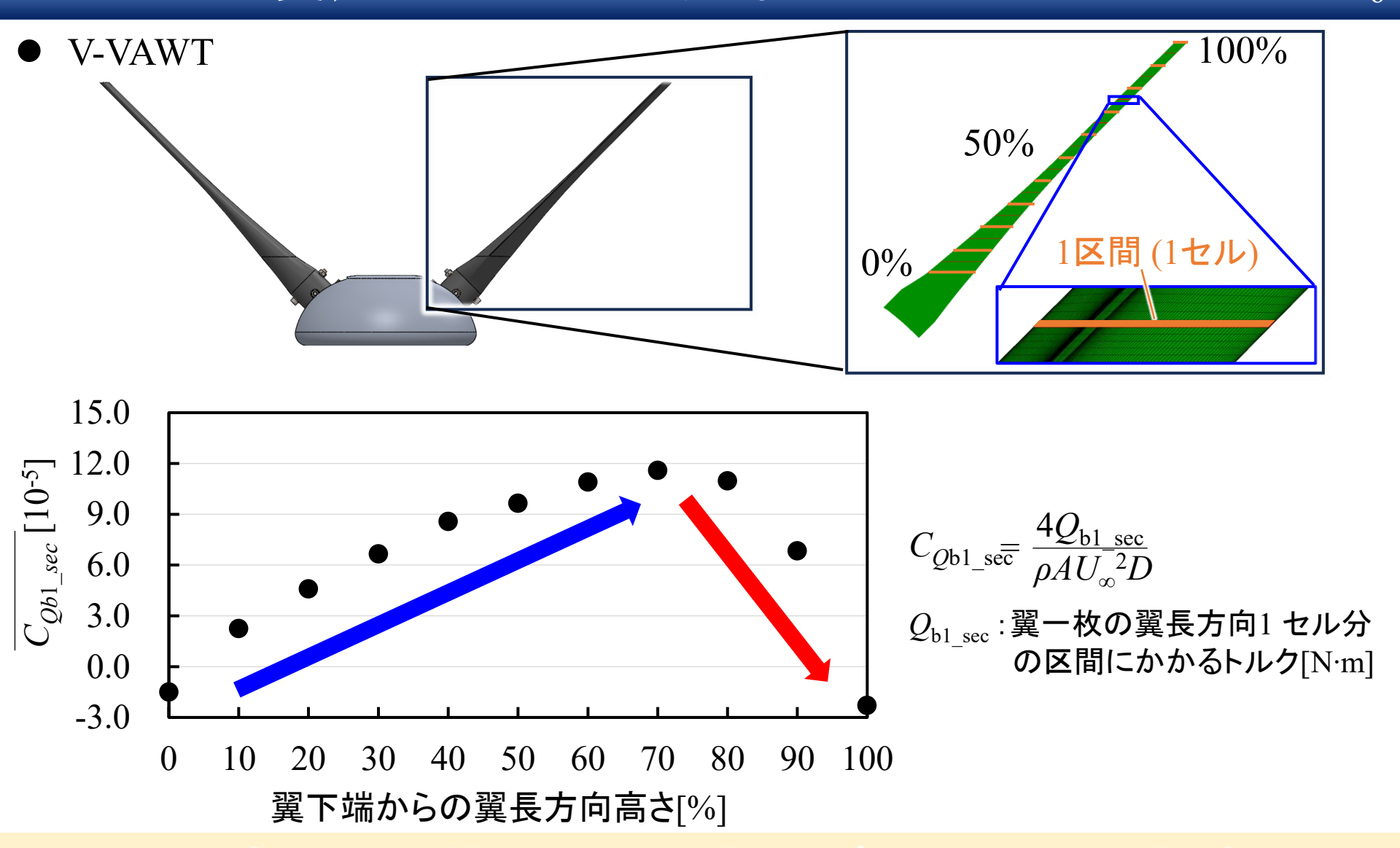
容易

ない

耐風設計 コスト低減

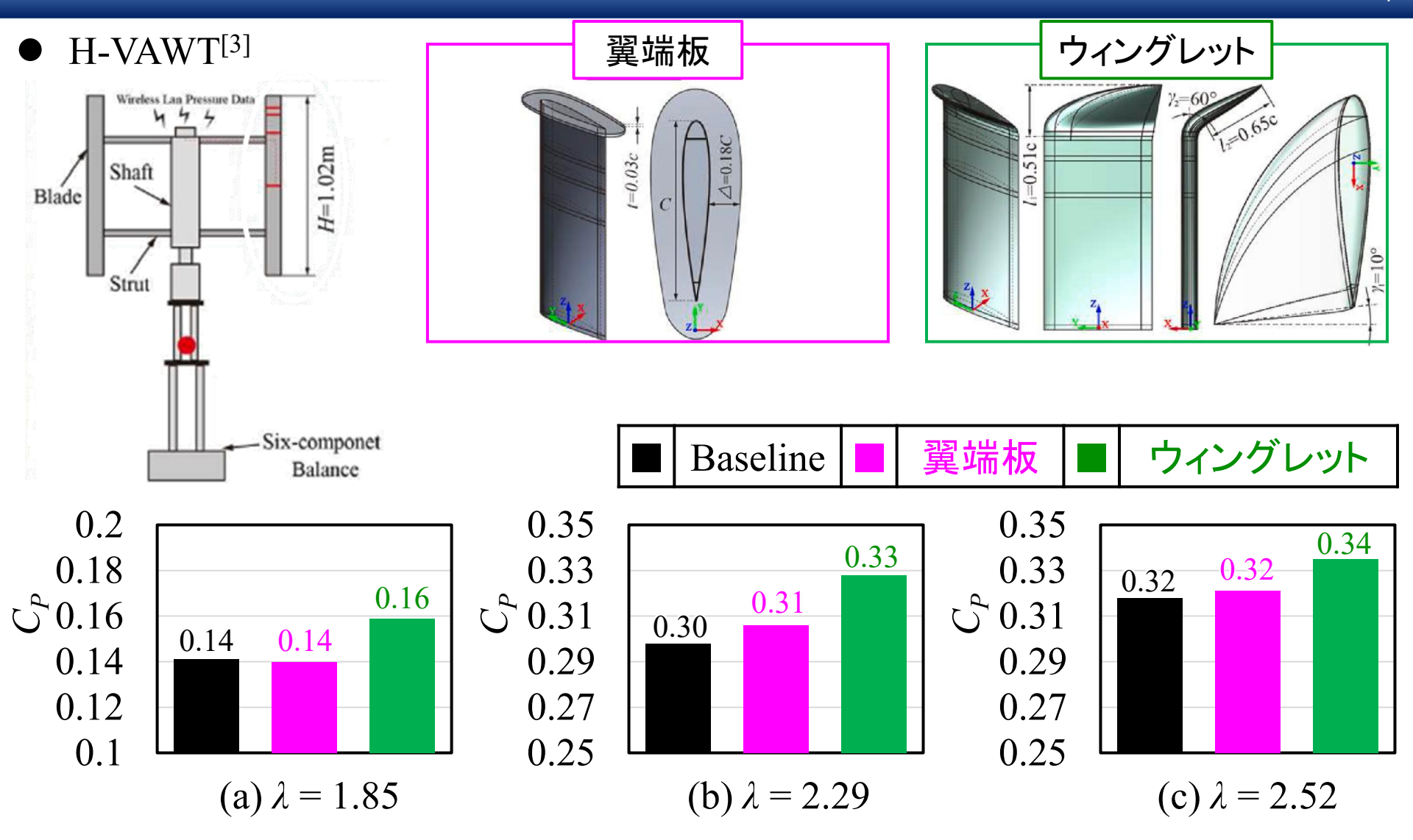
出力効率 向上

V形垂直軸風車の特性はほとんど明らかにされていない。



翼長70%高さより先端側で、翼の先端に近づくほど、トルク係数が低下

→ 出力向上のために、 翼端損失の低減が必要

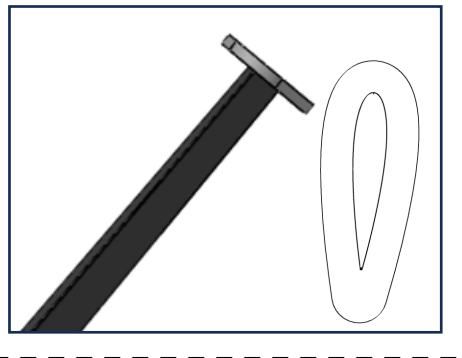


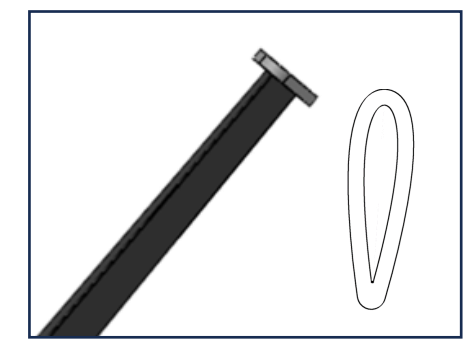
翼先端に翼端板やウィングレットを付加することで、出力係数が増加

V 形垂直軸風車の翼の翼端に翼端板やウィングレットを付加した場合に、翼端形状が風車出力特性に与える影響を調査

◆翼端形状

翼端板

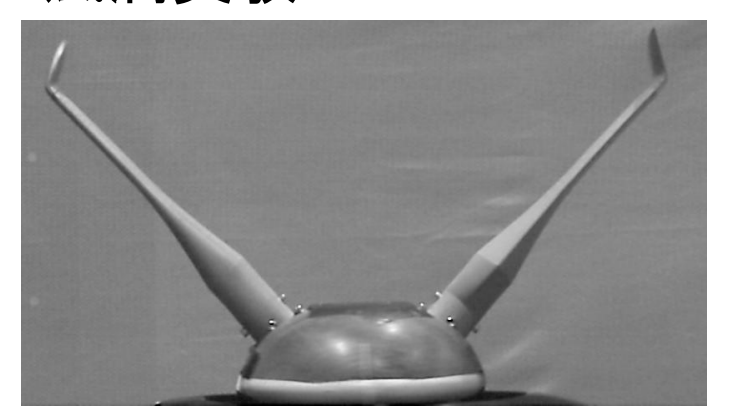




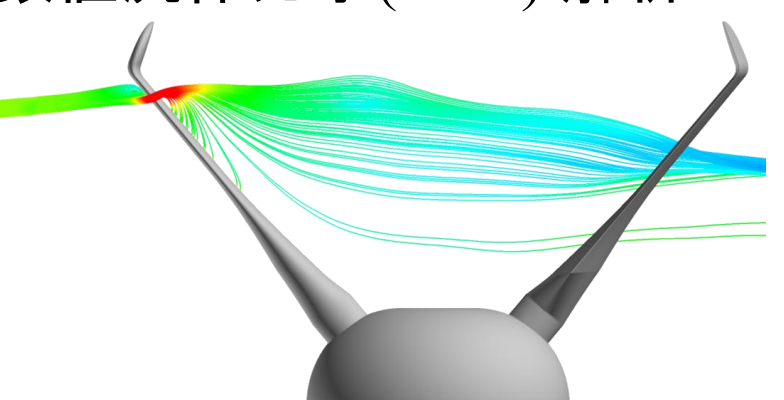




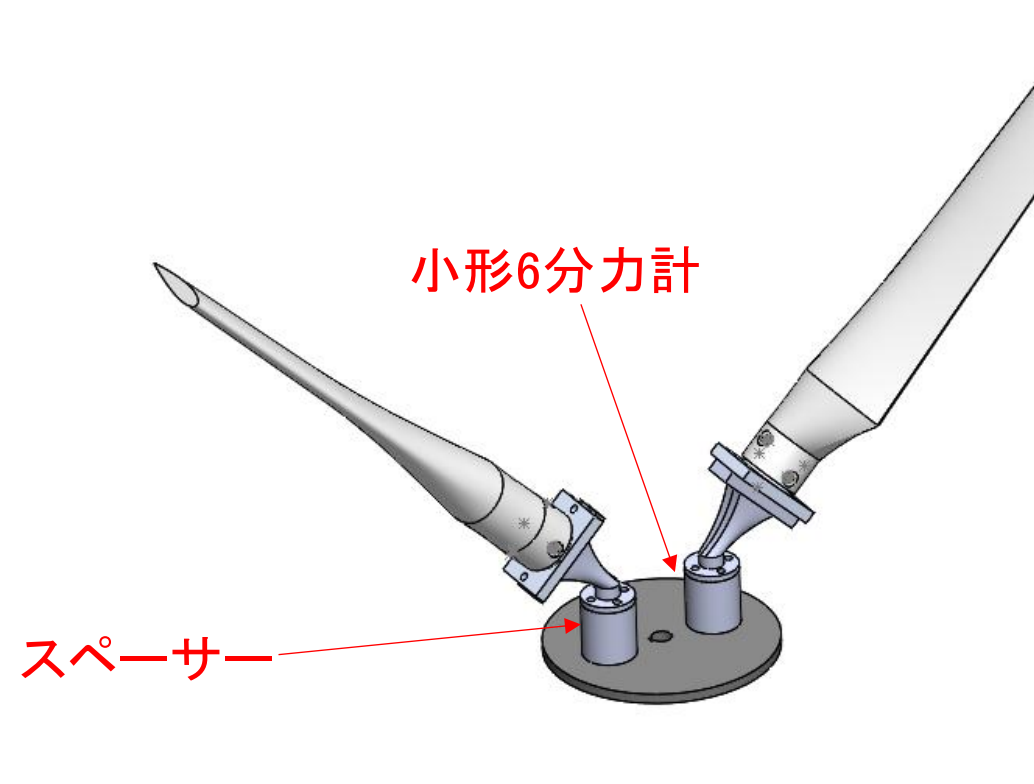
> 風洞実験



➤ 数值流体力学(CFD) 解析



V 形垂直軸風車の翼根部にかかる回転接線方向、ロータ半径方向、鉛直方向の荷重特性を調査



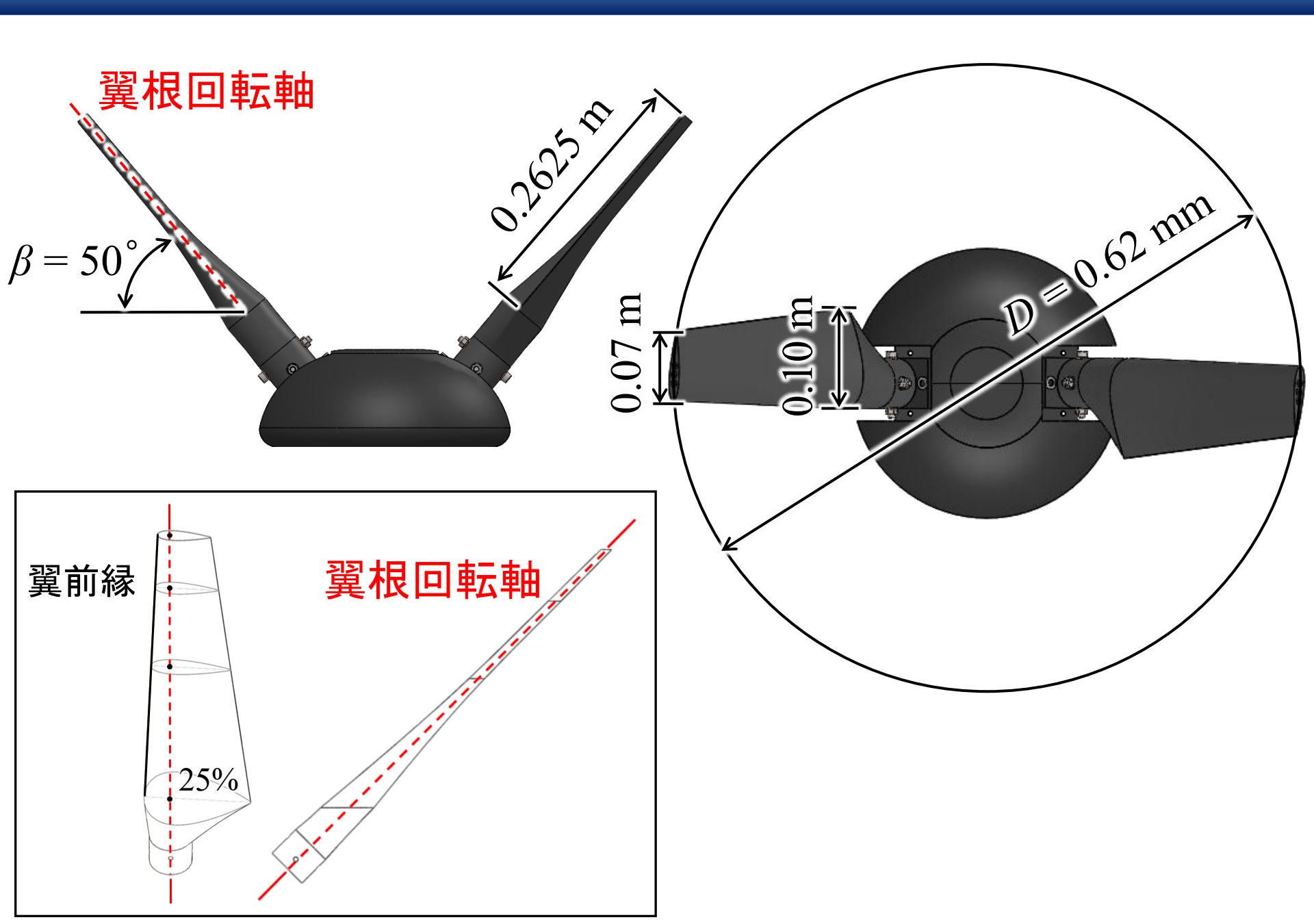
翼を搭載したハブ (当初想定版)

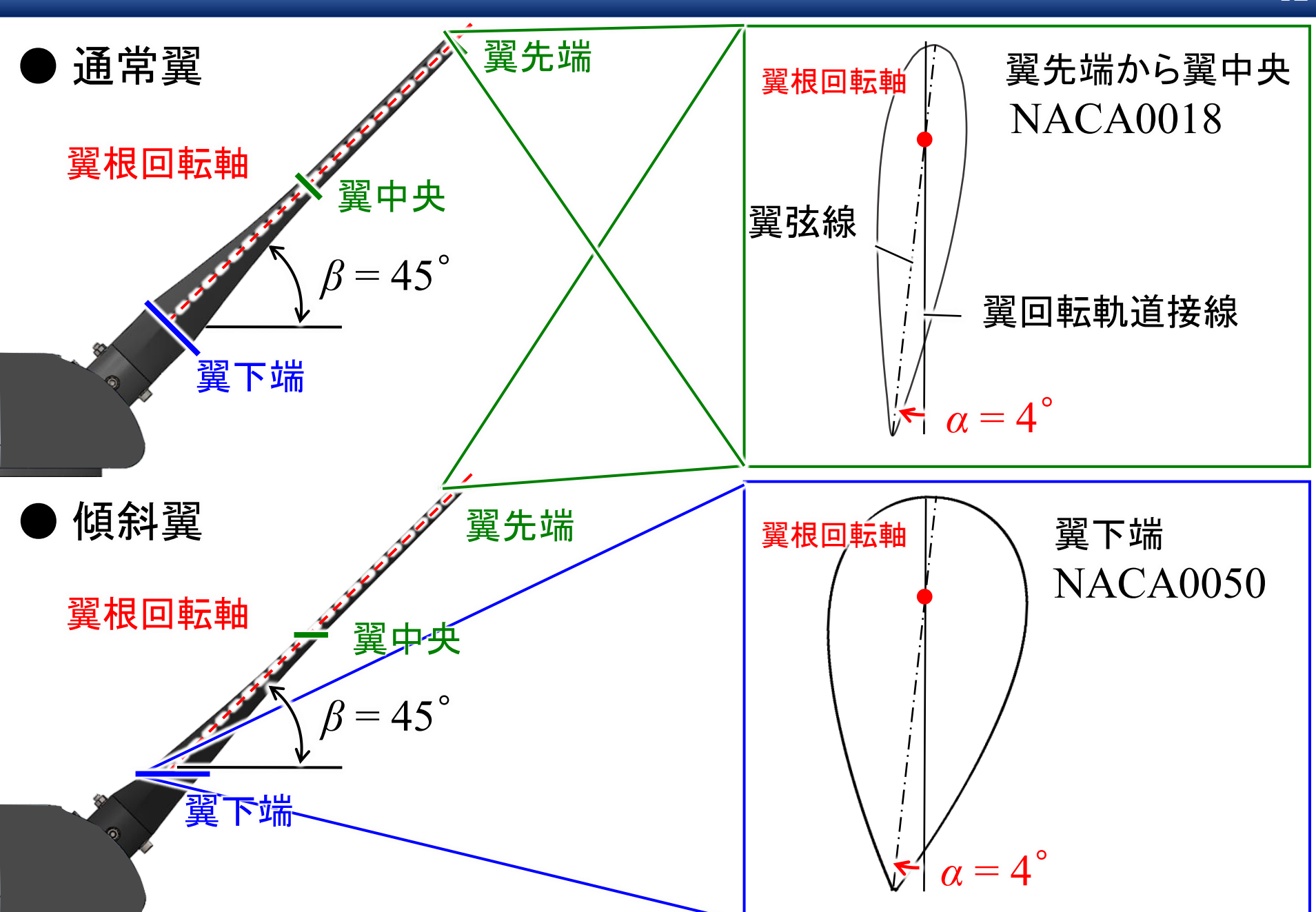


小形6分力計

翼を搭載したハブ (最終対象版)

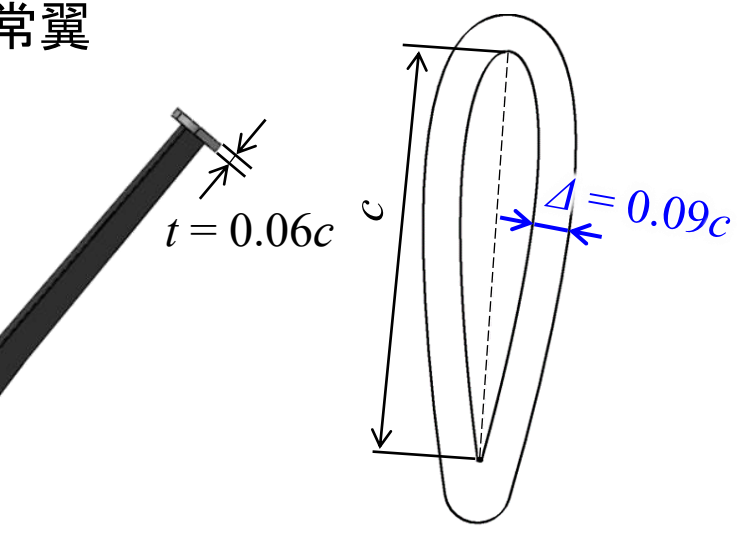
## 研究1



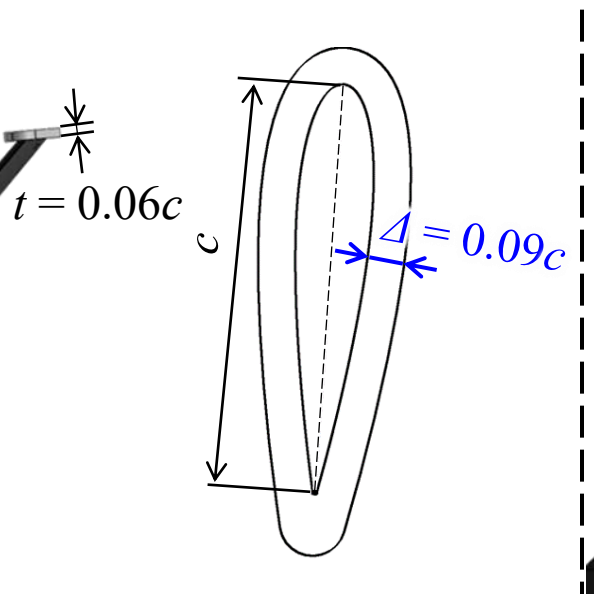




通常翼

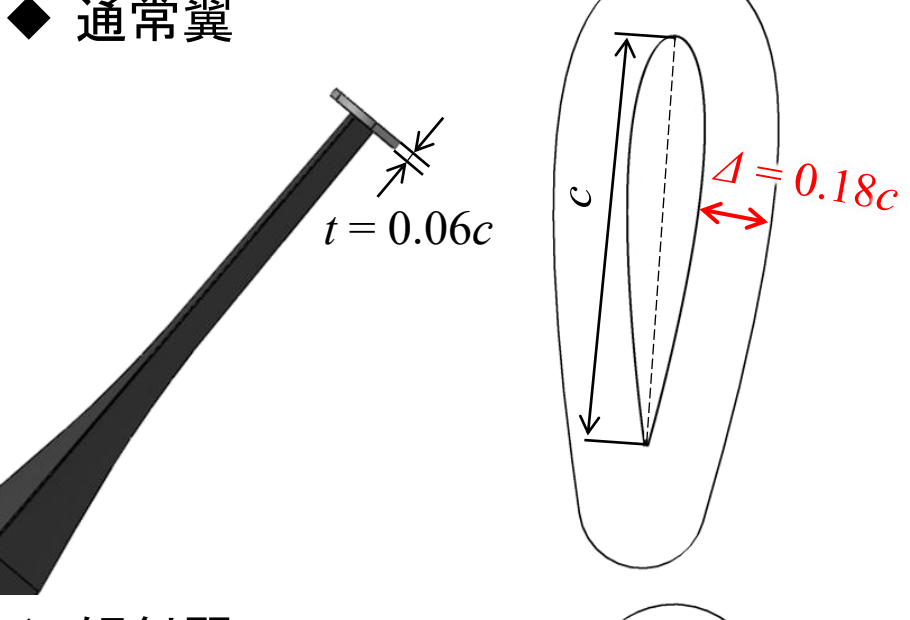


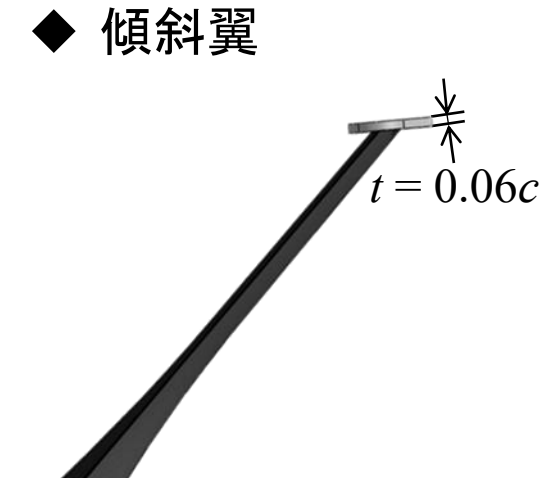
傾斜翼

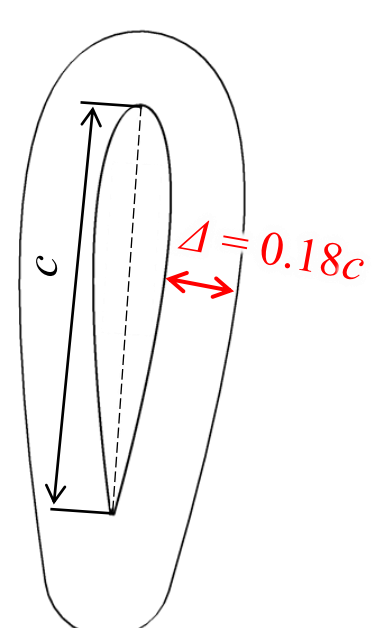


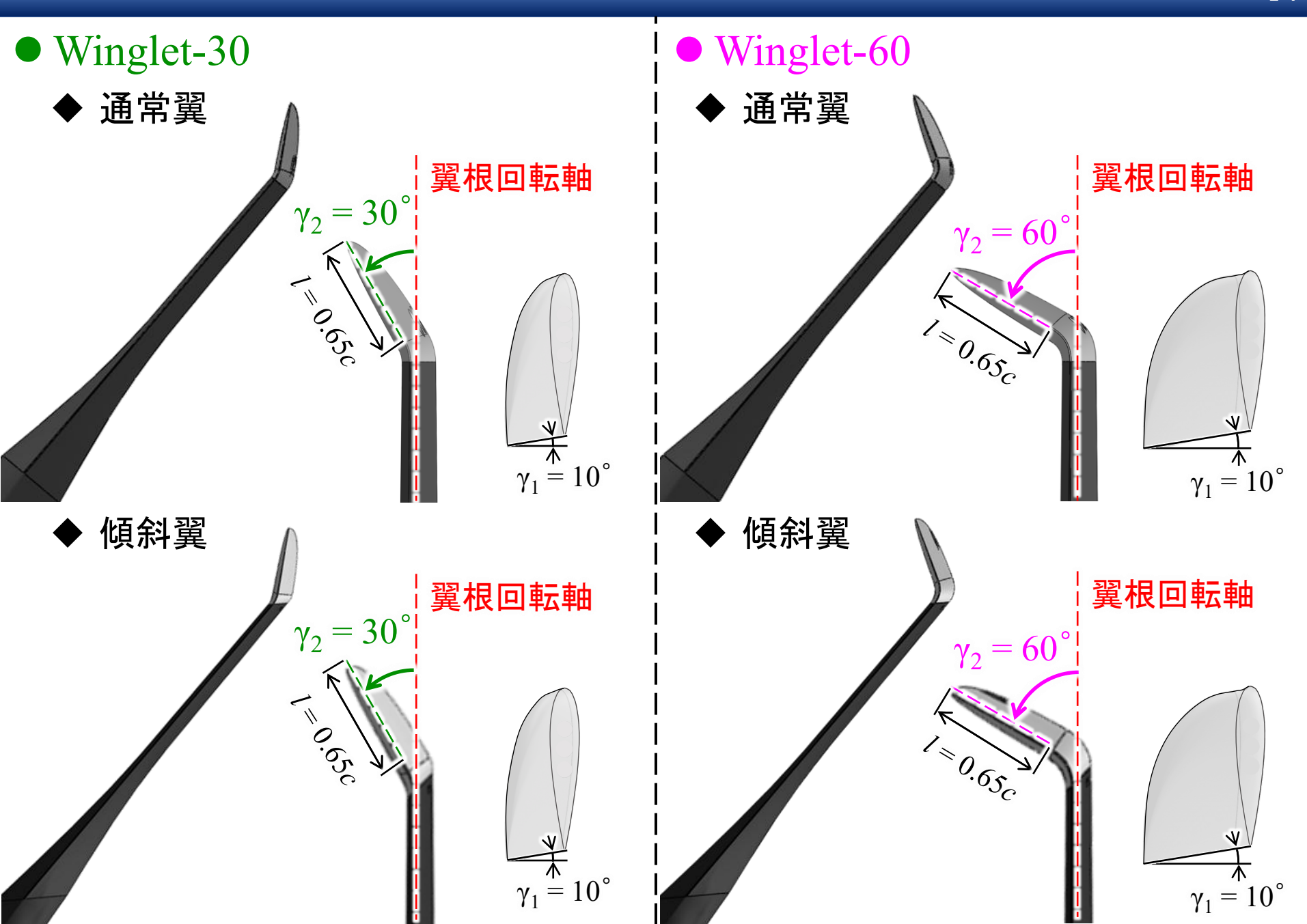
#### ■ EndPlate-0.18

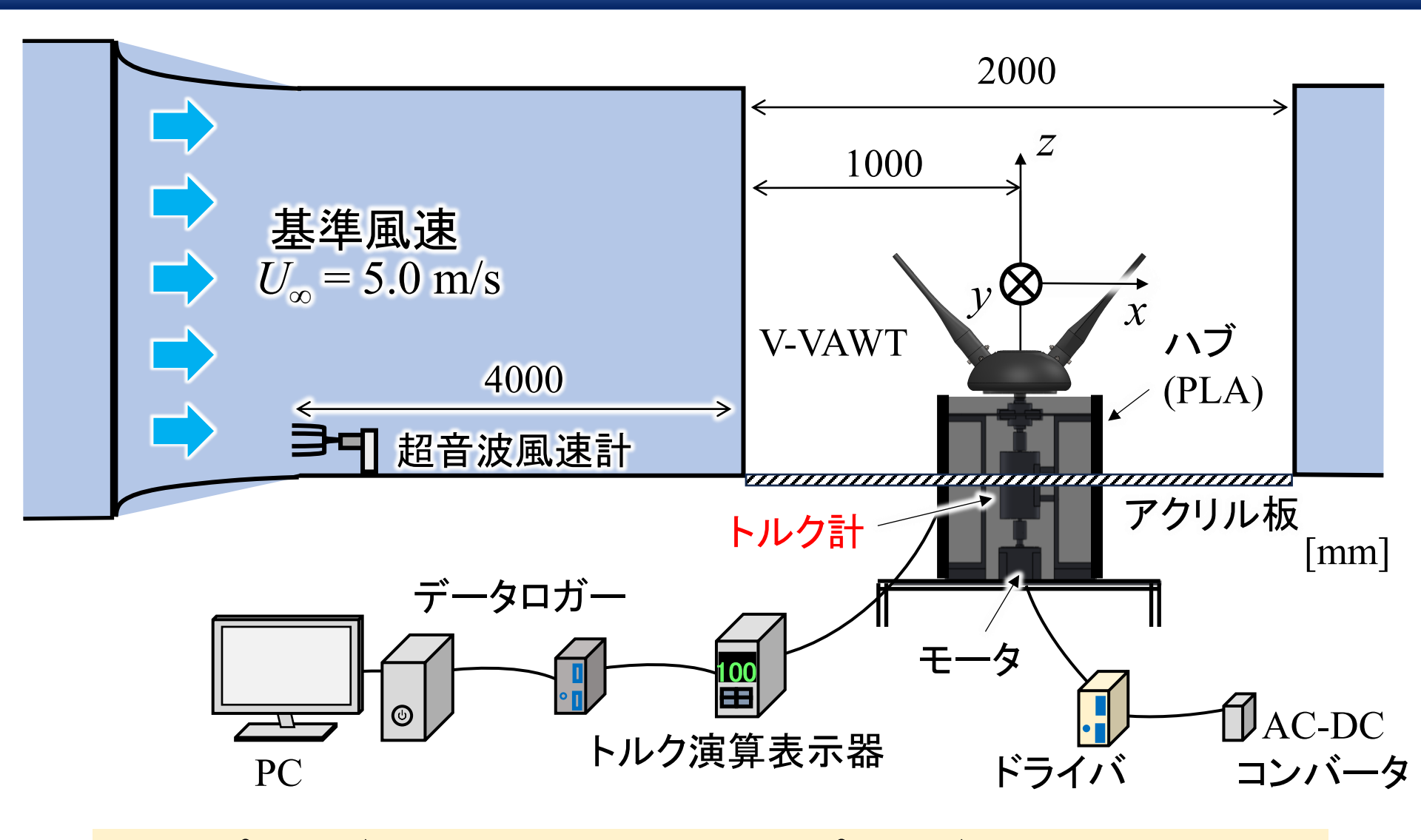
通常翼





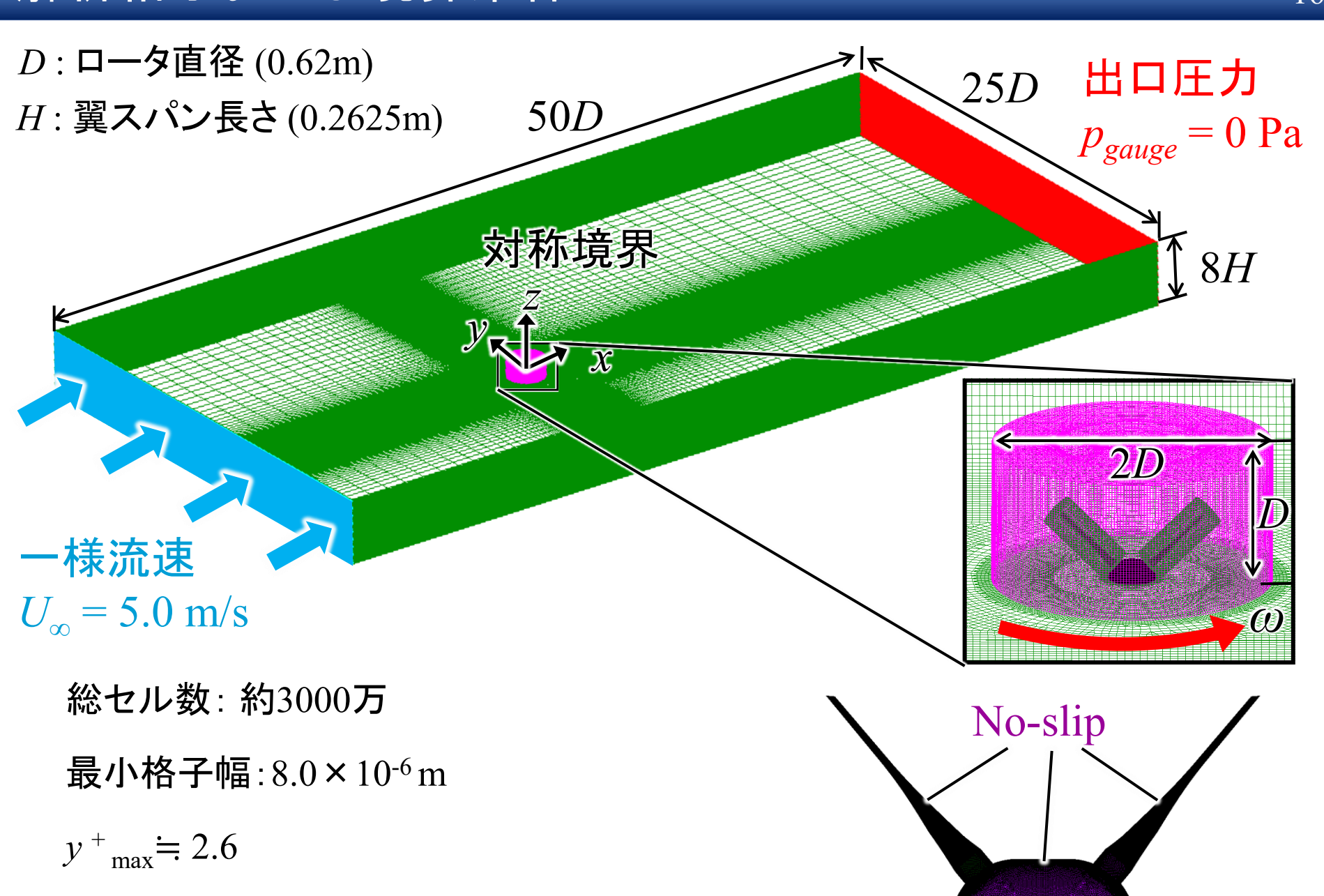






サンプリング点数: 25,000 点 サンプリング 周波数: 5 kHz

測定回数: 角周速比 $\lambda$ で4回( $\lambda$ 増加:2回, $\lambda$ 減少:2回)



対流項: LUST 法(中心差分: 風上差分 = 3:1)

二次精度陰解法

LES モデル

(SGS モデル: WALE モデル)

PIMPLE 法

OpenFOAM v2206

0.05°回転

6回転分

 $\lambda = 3.6$ 

その他の項: 二次精度中心差分

支配方程式

空間離散化

時間離散化

乱流モデル

圧力速度連成法

解析ソフト

時間刻み幅

解析時間

周速比

● 出力係数

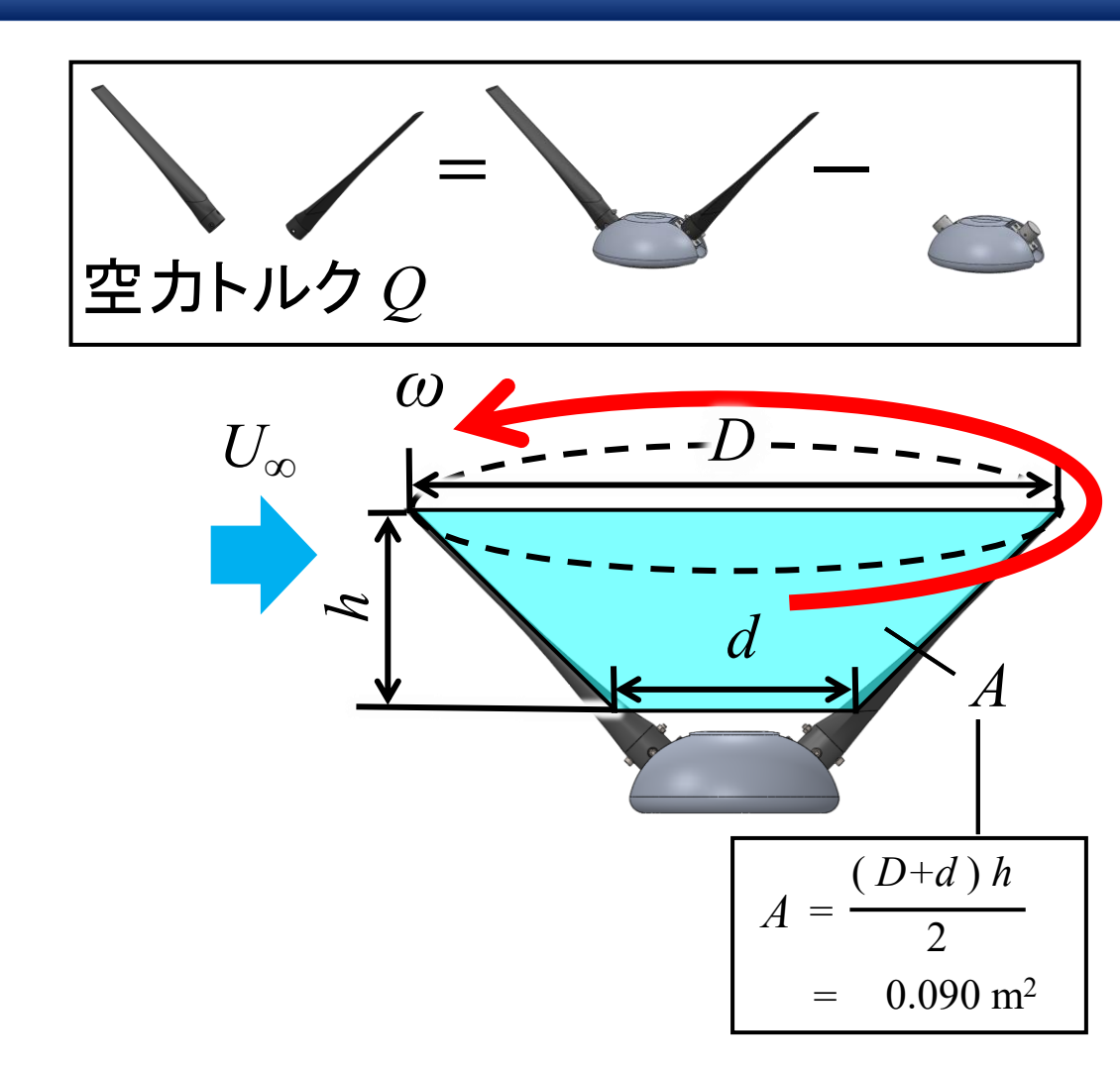
$$C_P = \frac{Q\omega}{0.5\rho A U_{\infty}^3}$$

•周速比

$$\lambda = \frac{0.5D\omega}{U_{\infty}}$$

● 翼一枚の空力トルク係数

$$C_{Qb1} = \frac{4Q_{b1}}{\rho A U_{\infty}^2 D}$$

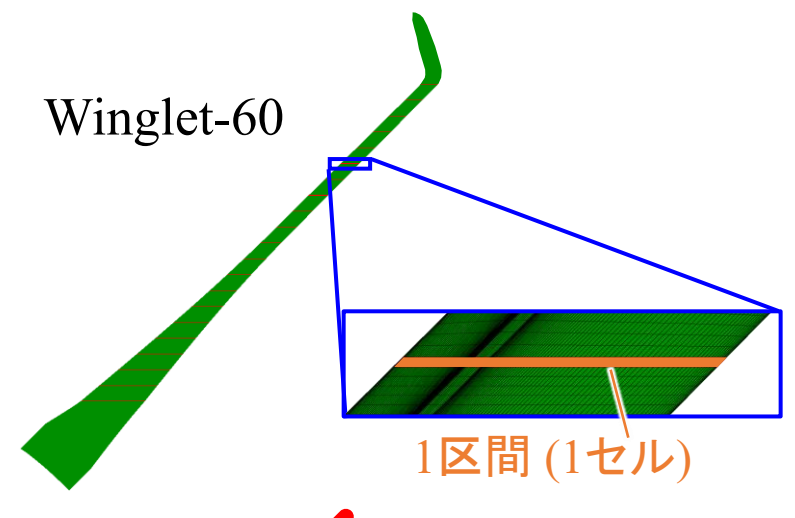


Q: 風車空カトルク [N•m] ω: 角速度 [rad/s]

 $Q_{b1}$ : 翼一枚の空力トルク [N・m]  $\rho$ : 空気密度 [kg/m<sup>3</sup>]

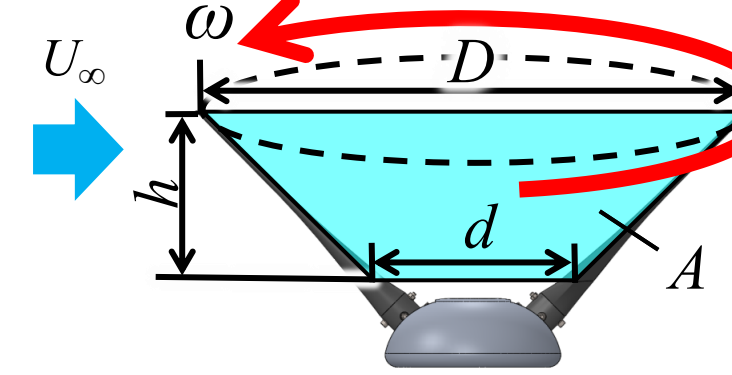
● 翼一枚の翼長方向1セル分の区間トルク係数

$$C_{Qb1\_sec} = \frac{4Q_{b1\_sec}}{\rho AU_{\infty}^2 D}$$
Baseline



● 圧力係数

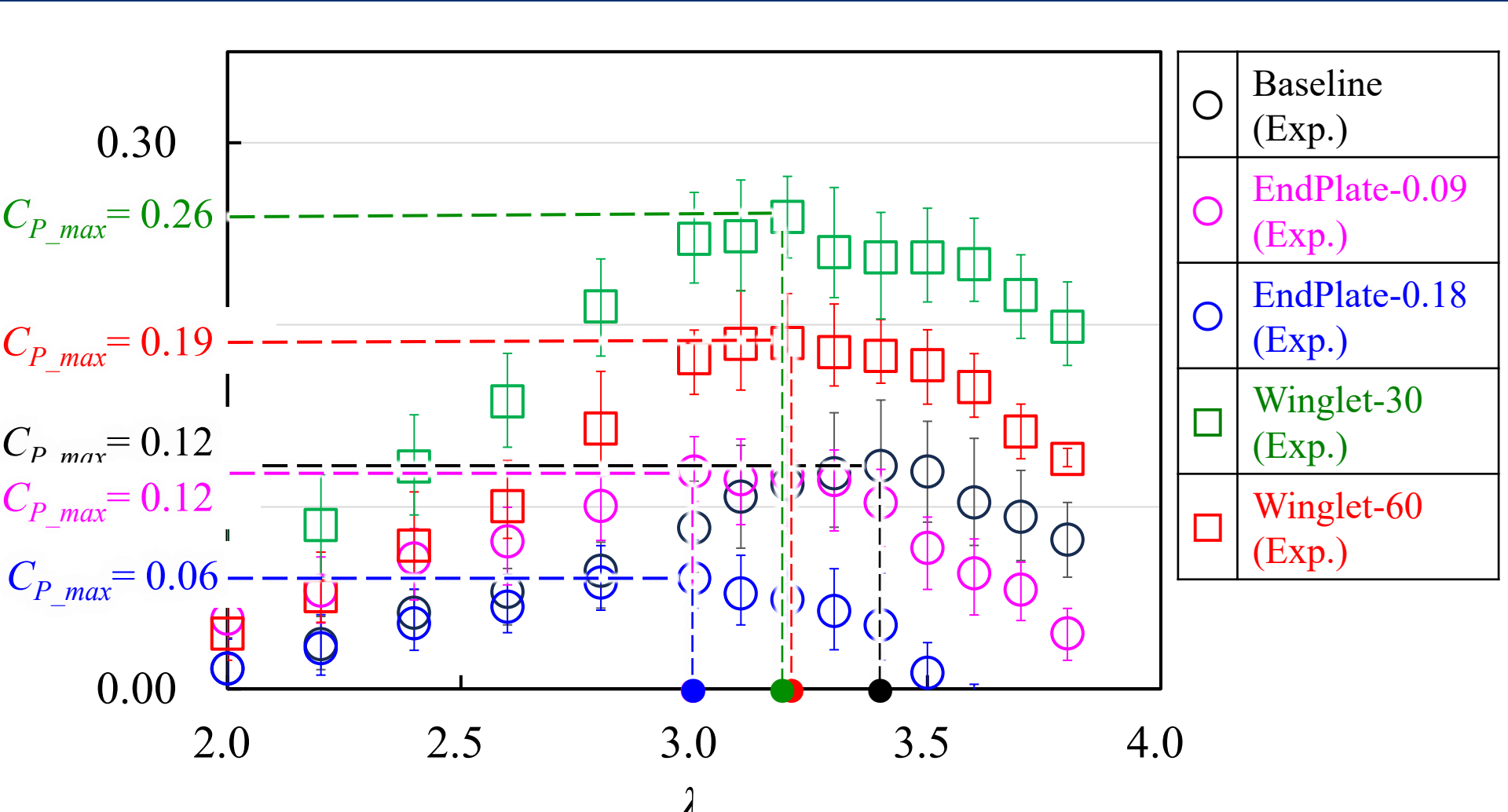
$$C_p = \frac{2p}{\rho U_{\infty}^2}$$



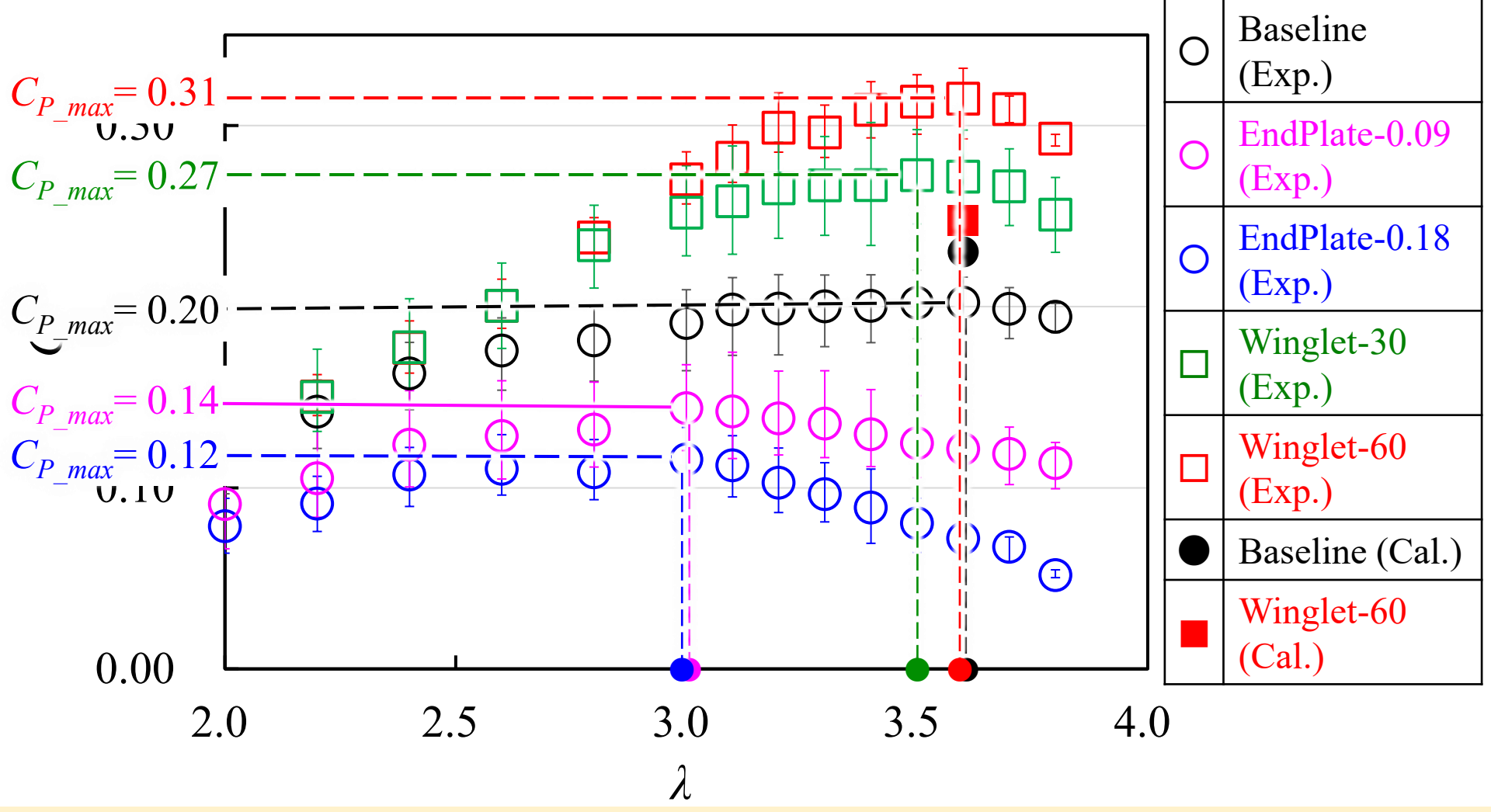
*p*:ゲージ圧 [Pa]

ρ: 空気密度 [kg/m³]

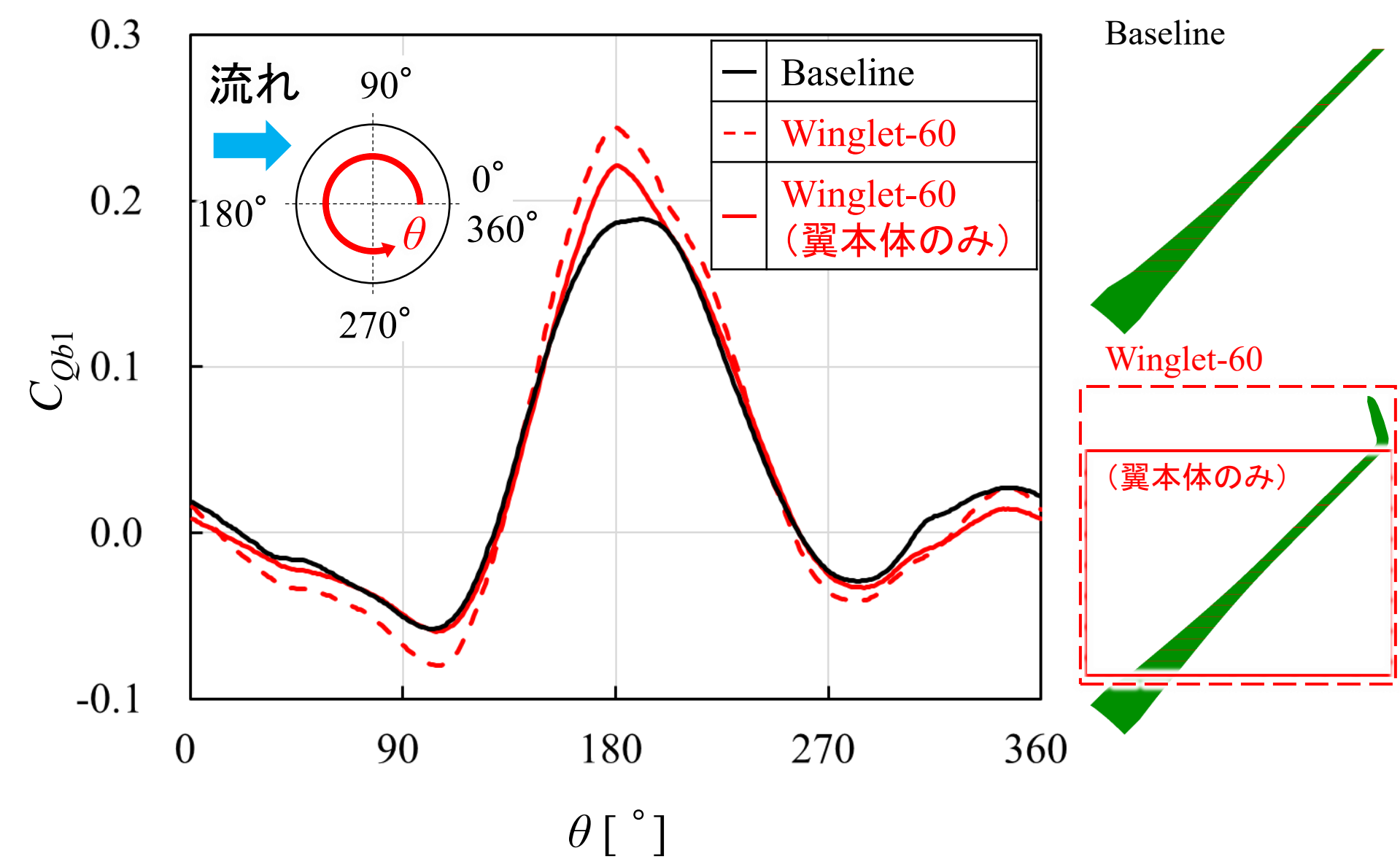
 $Q_{b1 \ sec}$ :翼一枚の翼長方向 $1 \$ セル分の区間にかかるトルク $[N \$ m]



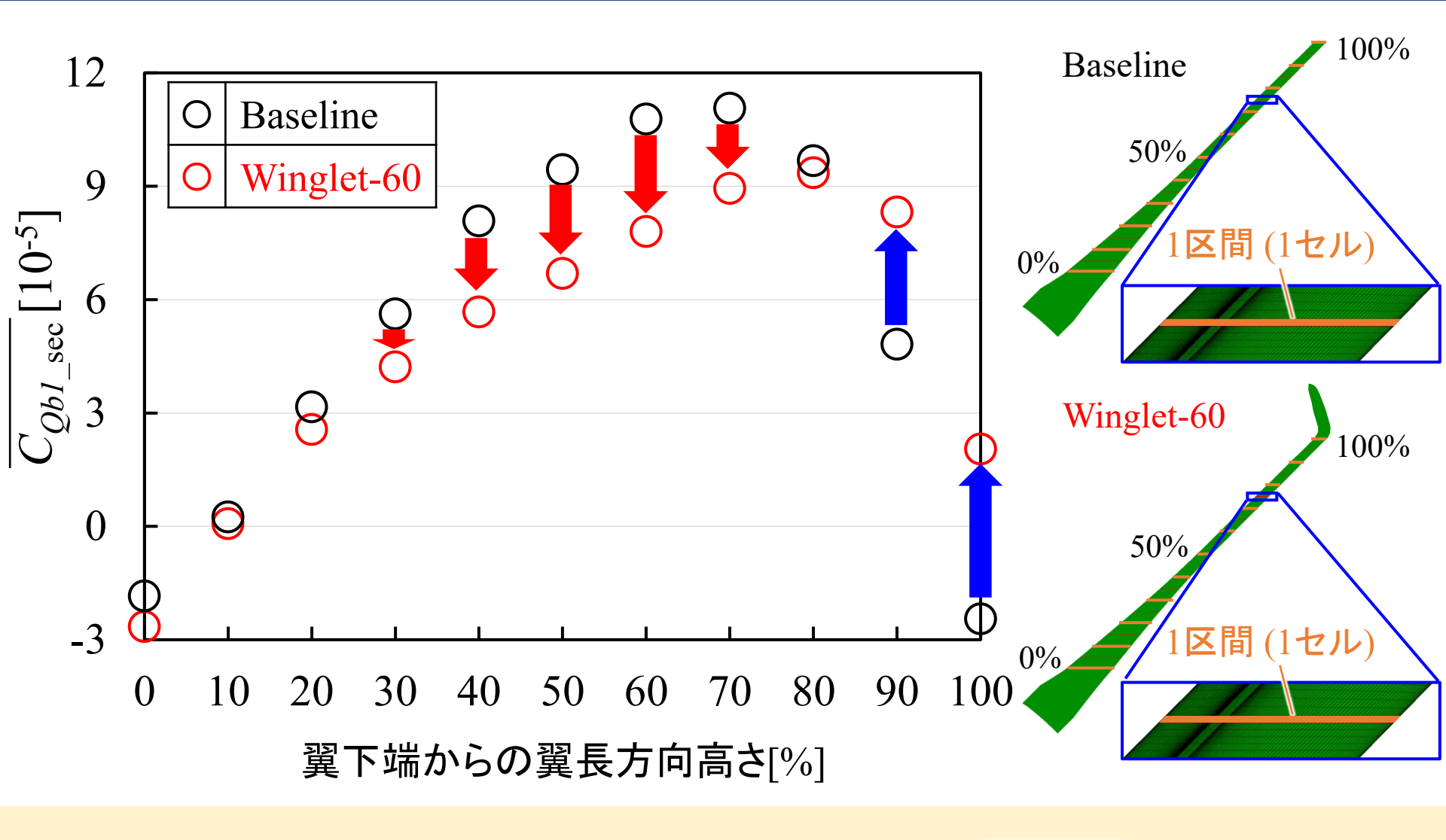
- ・ 翼端板, ウィングレットを付加することで, 最適周速比が低下
- EndPlate-0.18を付加すると、C<sub>P max</sub> が大きく低下
- Winglet-30, Winglet-60 を付加すると、Cp max が大きく増加



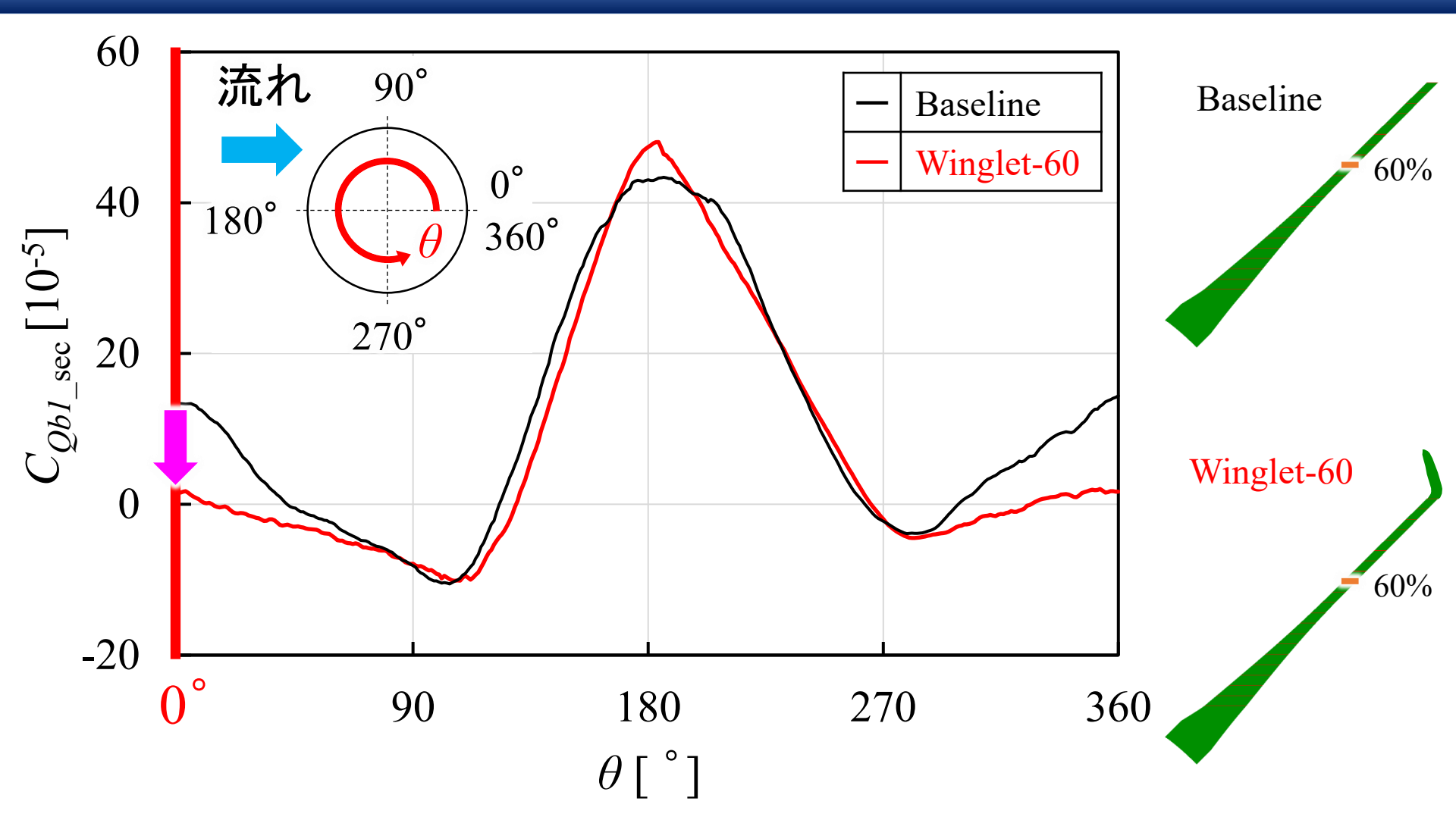
- ・ 翼端板, ウィングレットを付加することで, 最適周速比が低下
- EndPlate-0.09, EndPlate-0.18 を付加すると、 C<sub>P max</sub> が大きく低下
- Winglet-30, Winglet-60 を付加すると、Cp max が大きく増加



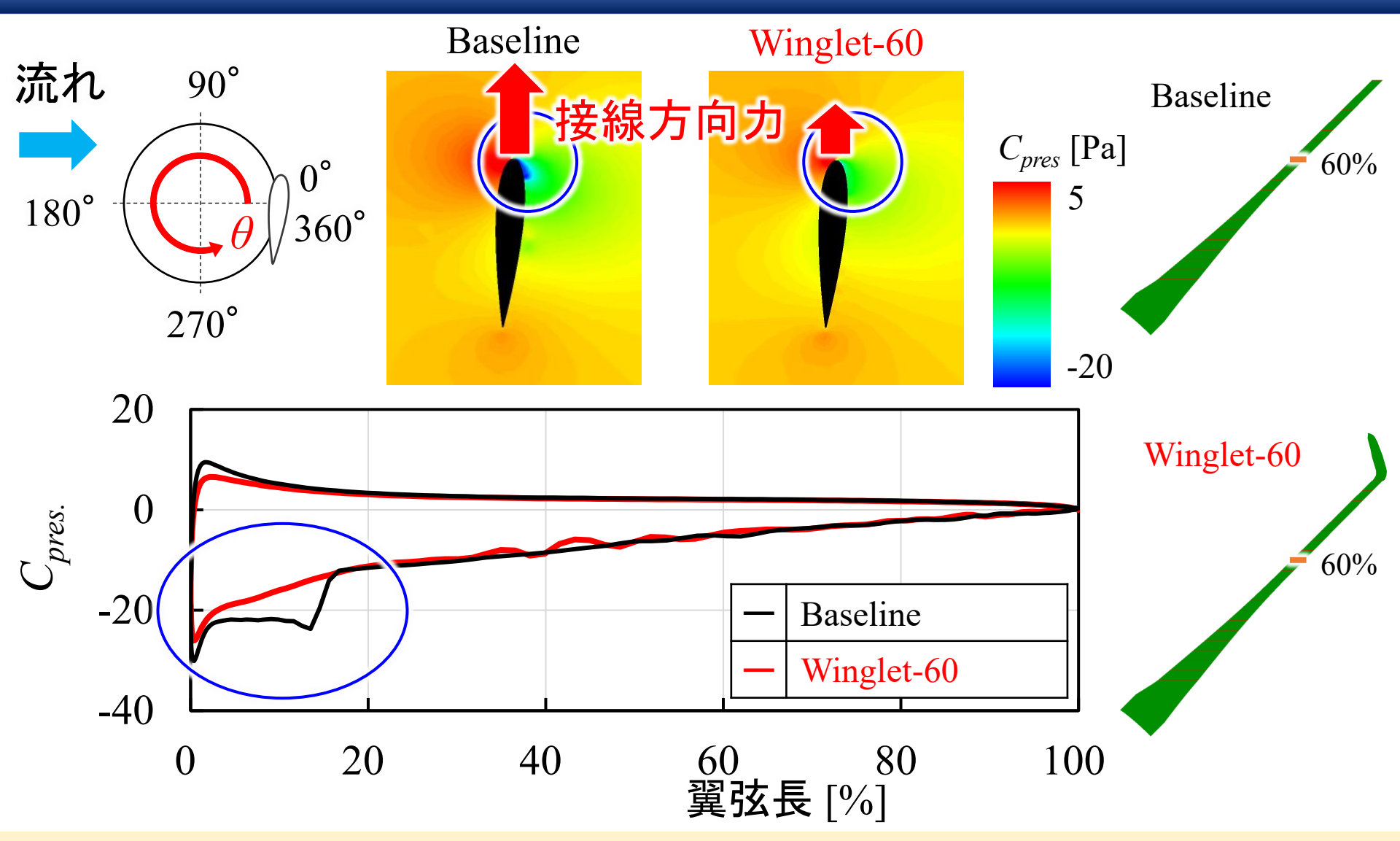
 $\theta = 180^{\circ}$ 付近で、ウィングレットを付加することでトルク係数が顕著に増加



ウィングレットを付加することで、翼長 $0 \sim 80\%$ 高さで $C_{Ob1\ sec}$  が低下 ウィングレットを付加することで、翼長90%および100%高さで $C_{Obl\ sec}$ が増加

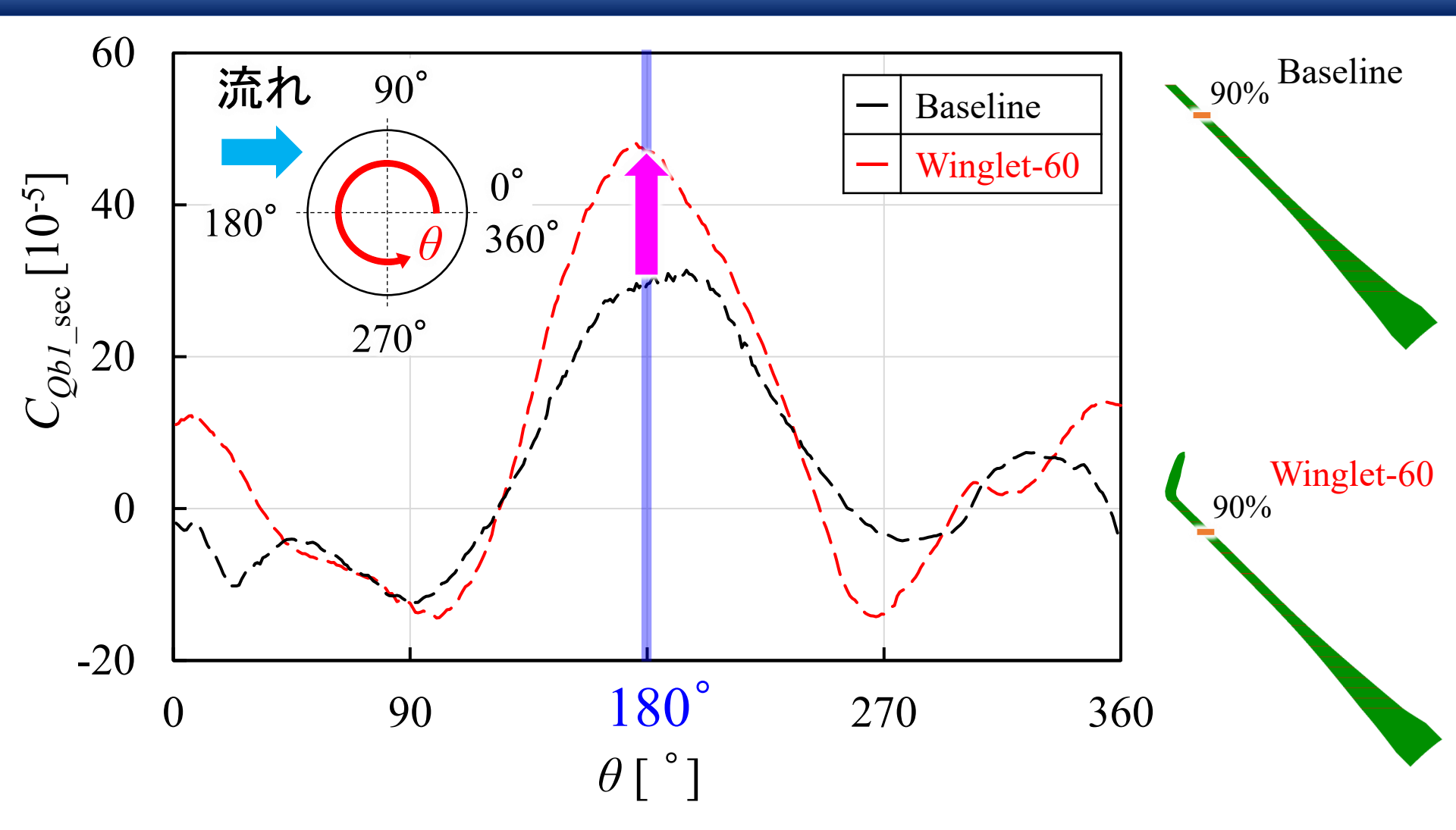


ウィングレットを付加することで、 $\theta=0^\circ\sim70^\circ$ 、 $300^\circ\sim360^\circ$ 付近において  $C_{Ob1\ sec}$  が顕著に低下

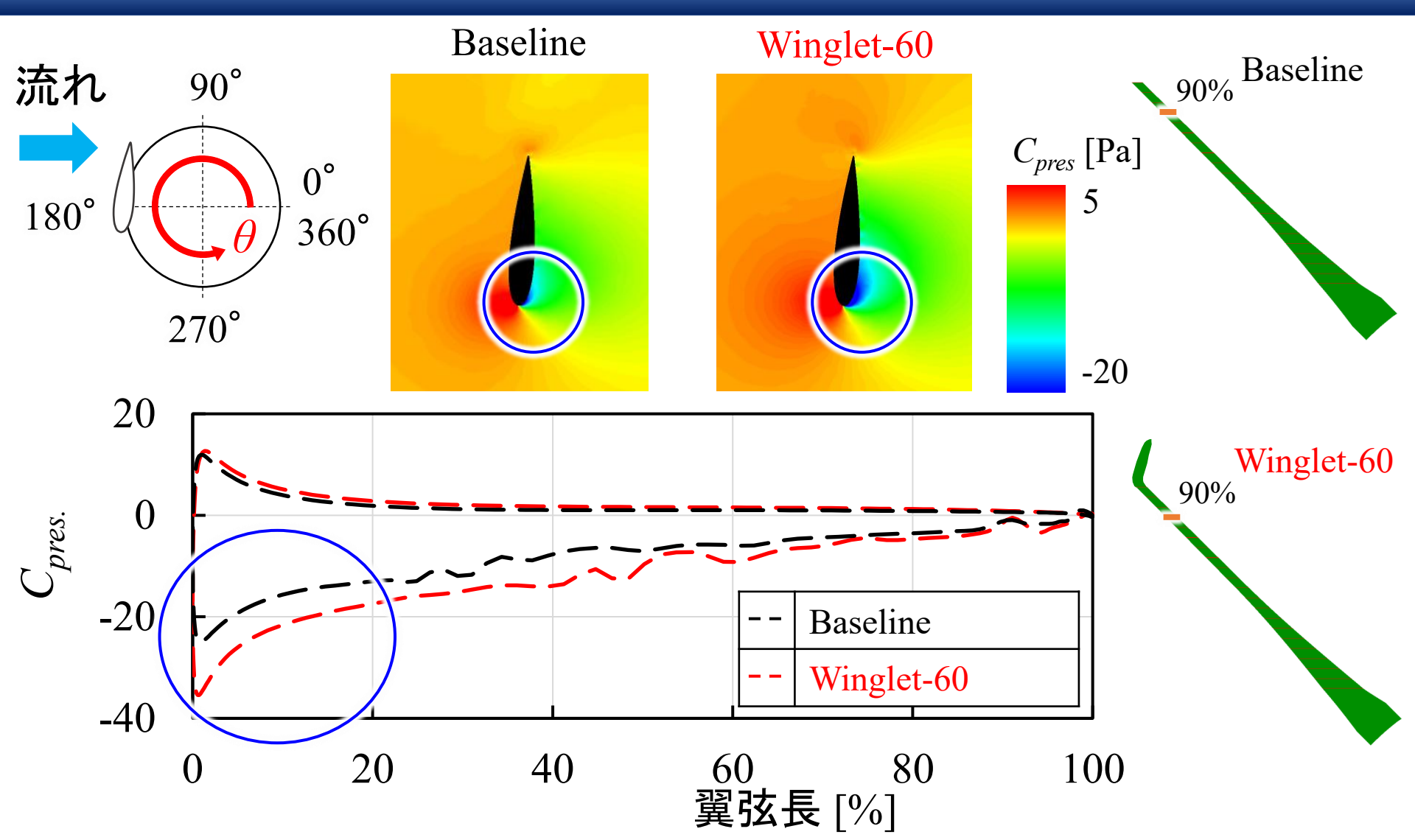


ウィングレットを付加することで、翼前縁付近の負圧の絶対値が低下

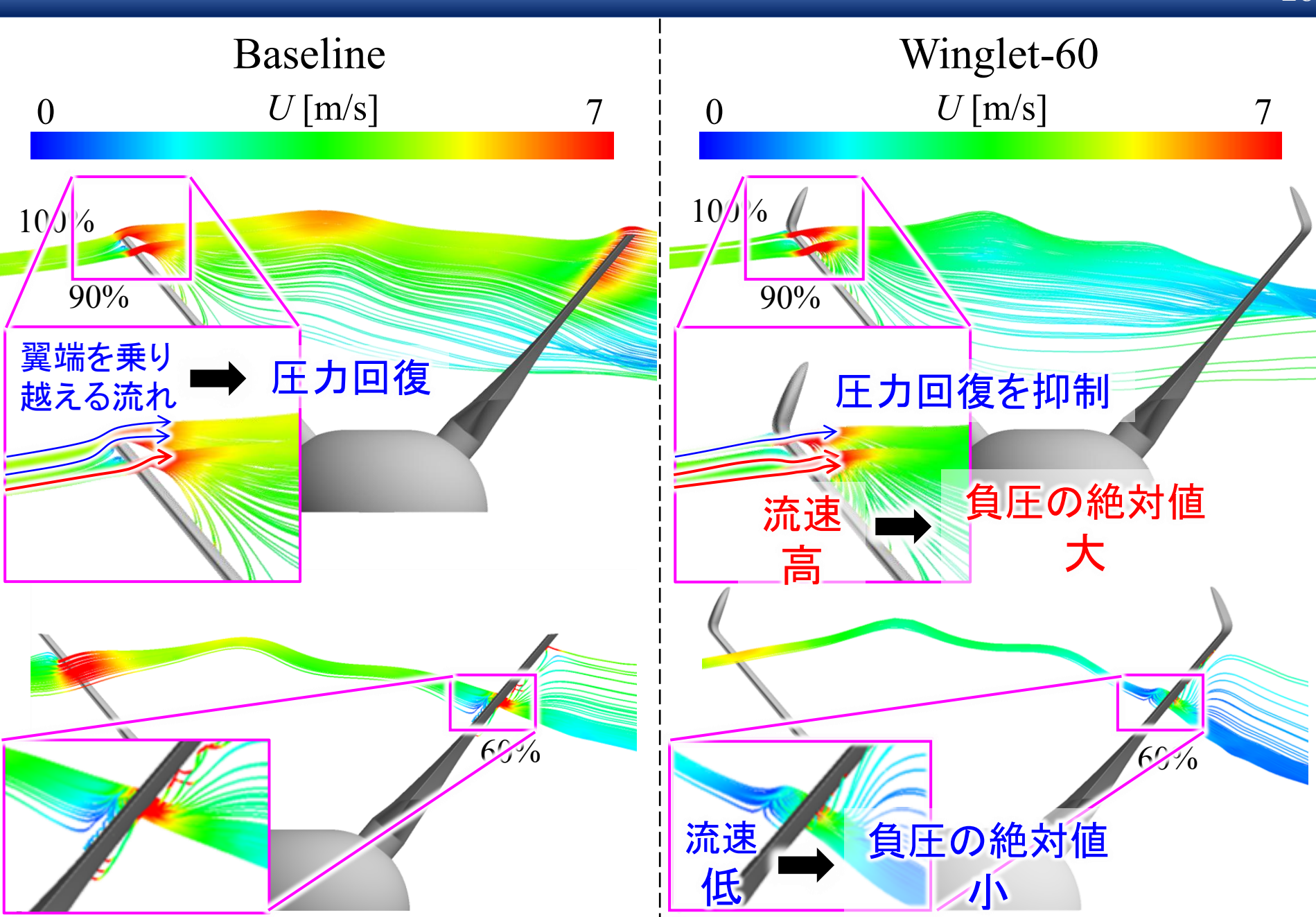
ightarrow 翼長60%高さにおいて、 $\theta=0^\circ$ 付近で $C_{Obl\ sec}$  が顕著に低下



ウィングレットを付加することで、 $\theta=180^\circ$ 付近において $C_{Ob1\ sec}$ が顕著に増加



ウィングレットを付加することで、翼前縁付近の負圧の絶対値が顕著に増加  $\rightarrow$  翼長90%高さにおいて、 $\theta=180^\circ$ 付近で $C_{Obl~sec}$  が顕著に増加



#### ▶ 翼端板の影響

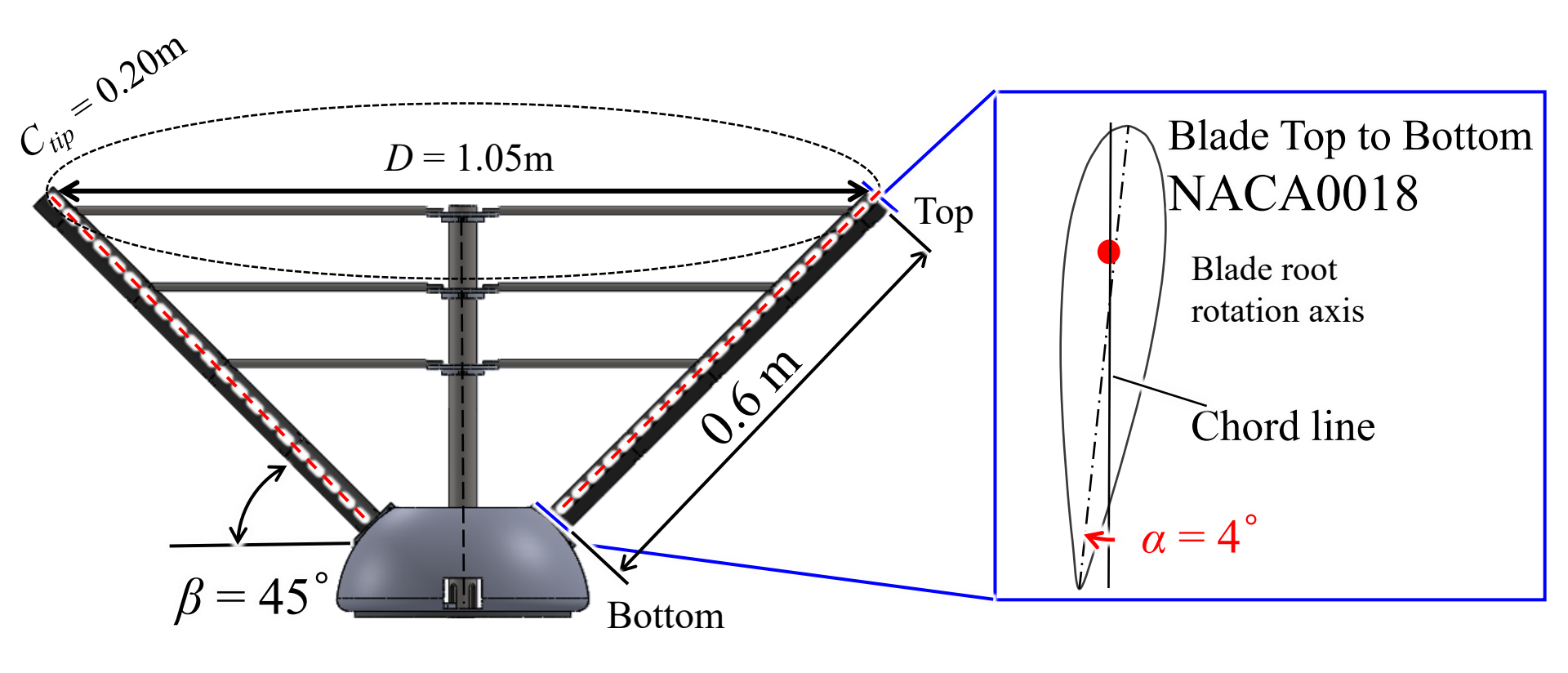
- 翼端板を付加することで、最適周速比が低下
- 翼端板を付加することで、最大出力係数が低下

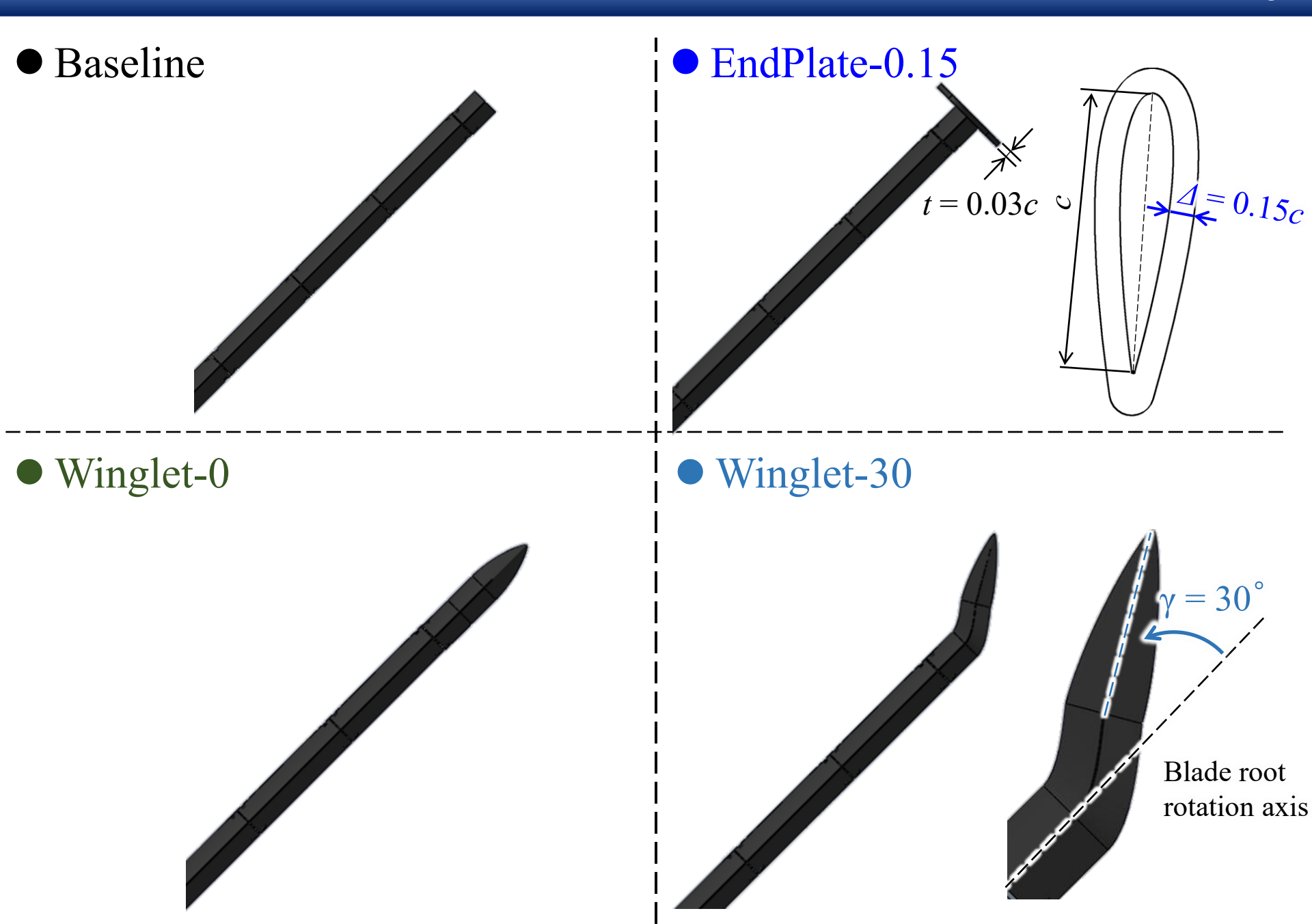
#### ▶ ウィングレットの影響

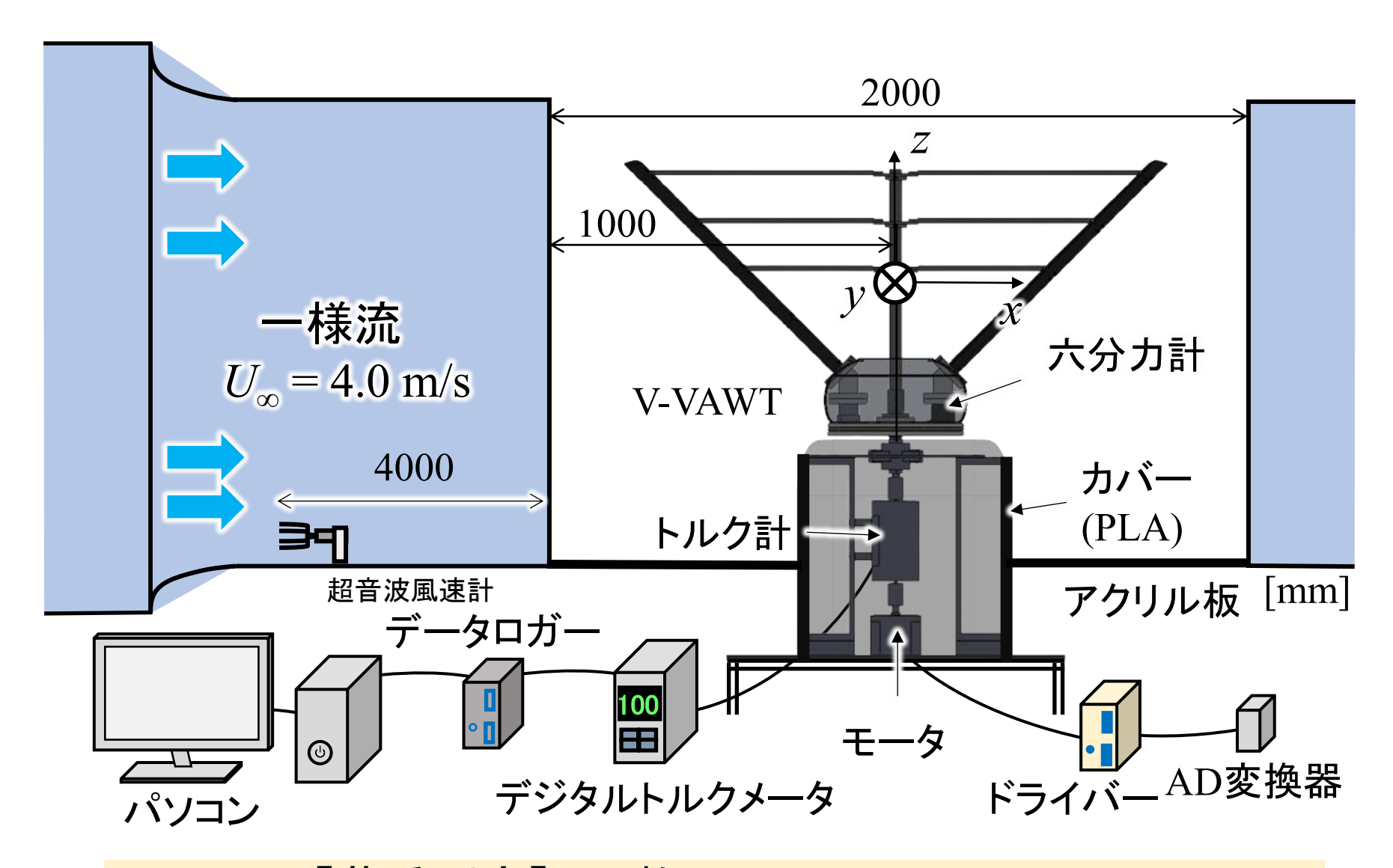
- ウィングレットを付加することで、最適周速比が低下
- ウィングレットを付加することで、最大出力係数が増加
- 翼一枚のトルク係数は、ウィングレットを付加することで、最風上のアジマス角で顕著に増加



# 研究2

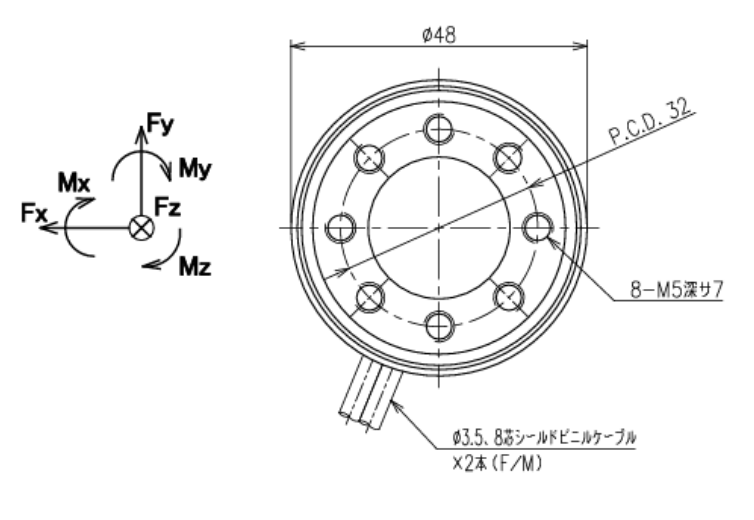




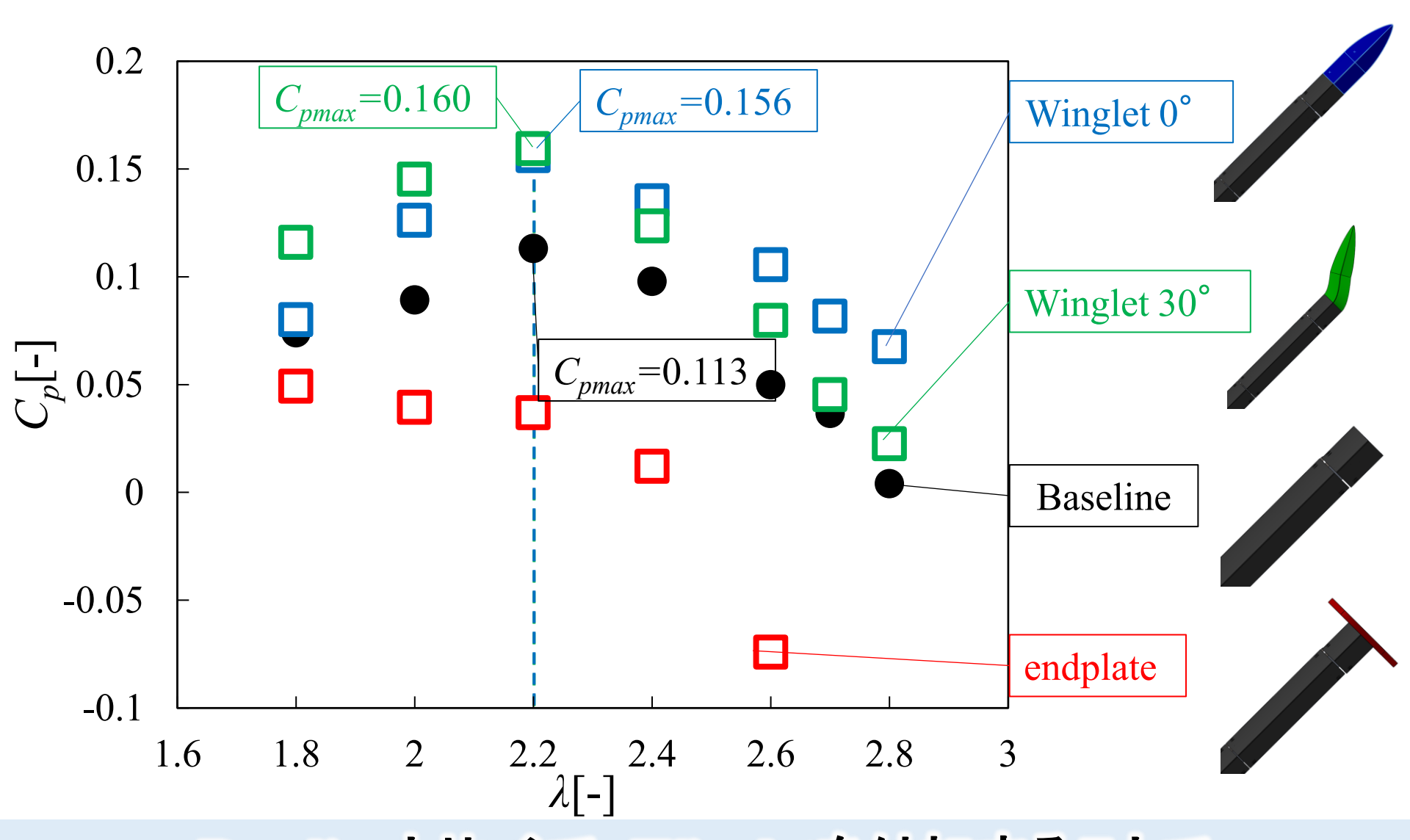


【荷重測定】回数:2(up:1,down:1) サンプリング点数:5,000 サンプリング周波数:1 kHz

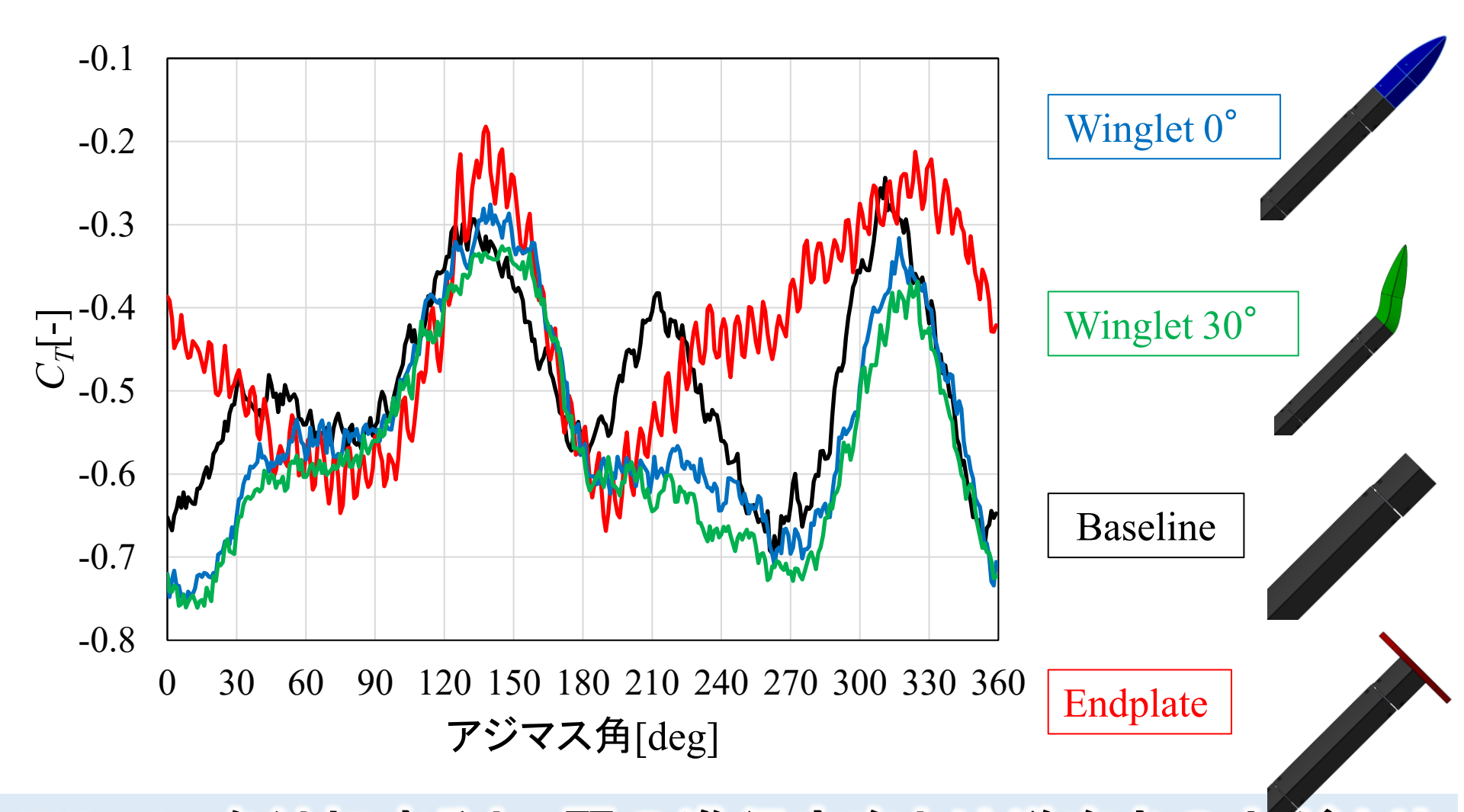




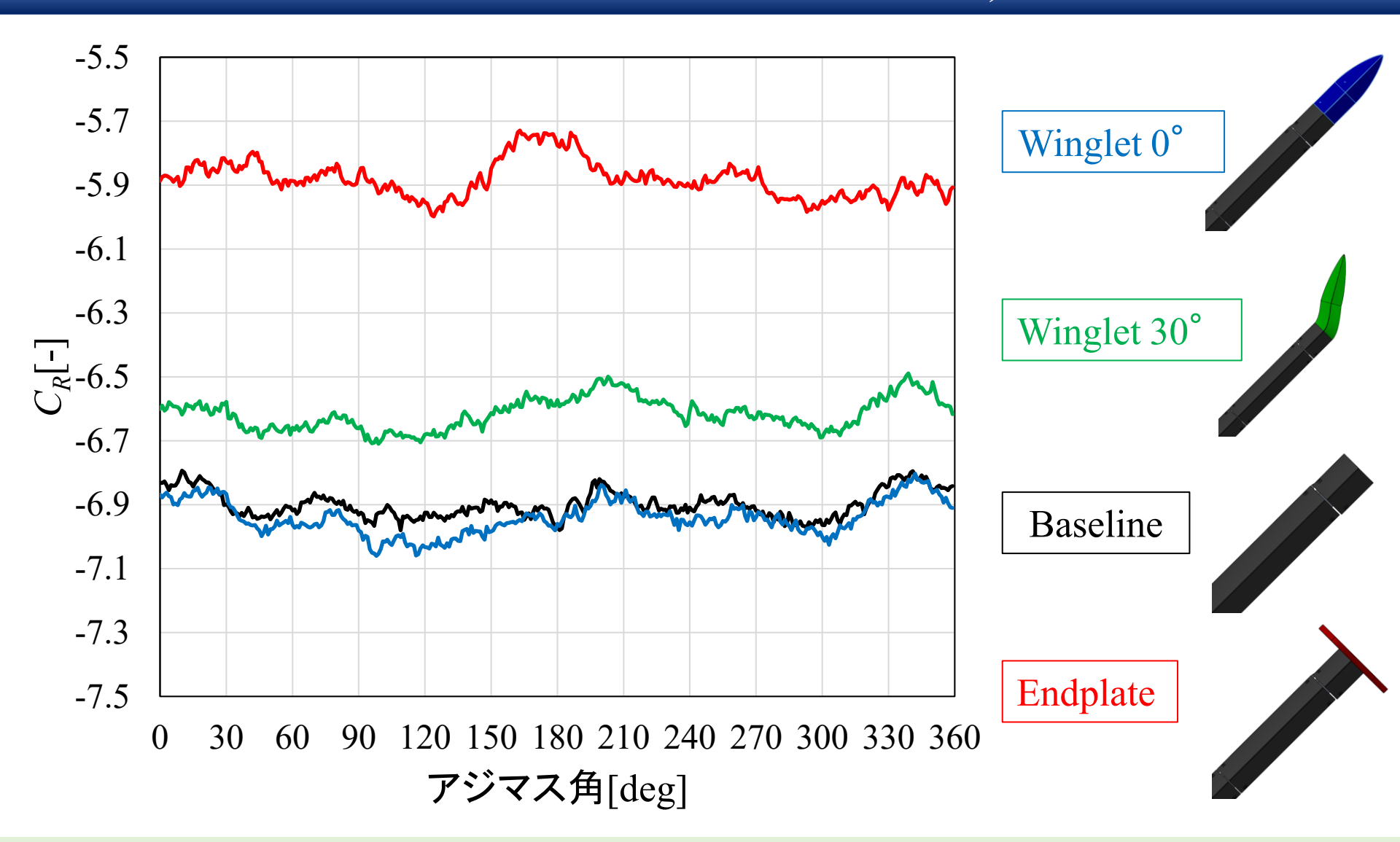
品名	6分力ロードセル	
型式	TL6F04-5KN	
定格容量		
Fx, Fy	±2500kN	
Fz	+5000N	
Mx, My	±70N·m	
Mz	±70N·m	
定格出力		
Fx, Fy	±2.0mV/V(±4000με)程度	
Fx, Fy Fz	±2.0mV/V(±4000με)程度 ±0.9mV/V(±1800με)程度	
Fz	±0.9mV/V(±1800με)程度	



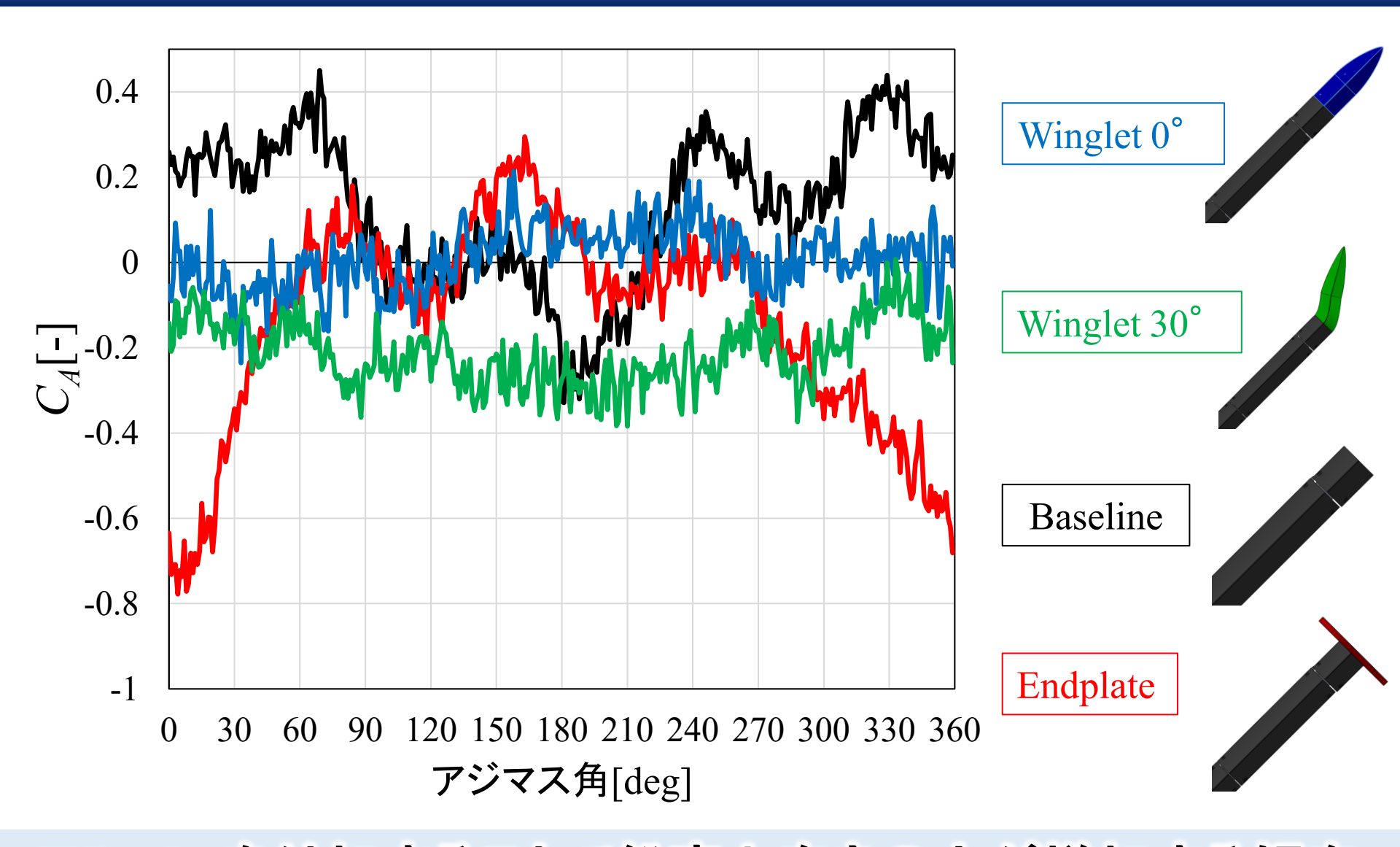
Baselineと比べて、Wingletを付加することで 最大出力係数が増加



Wingletを付加すると、翼の進行方向とは逆向きの力がより大きくかかり、Endplateを付加すると、翼の進行方向とは逆向きの力が低減



Endplateの場合、半径方向の荷重が低下



Wingletを付加することで鉛直上向きの力が増加する傾向

#### > 翼端板の影響

- ・ 翼の進行方向と逆向きの力が低減
- 半径方向の荷重が低減

#### ▶ ウィングレットの影響

- 翼の進行方向の力がより増加
- ・ 鉛直上向きの力が増加

- ※翼端に何も付加しない状態で、翼根部に翼進行方向と逆向きの荷重がかかっていることから、アームに翼進行方向の荷重がかかていると考えられる。
- ※アームが無い状態では、風車回転中に翼進行方向に荷重がかかることを確認している。

### ご清聴ありがとうございました.